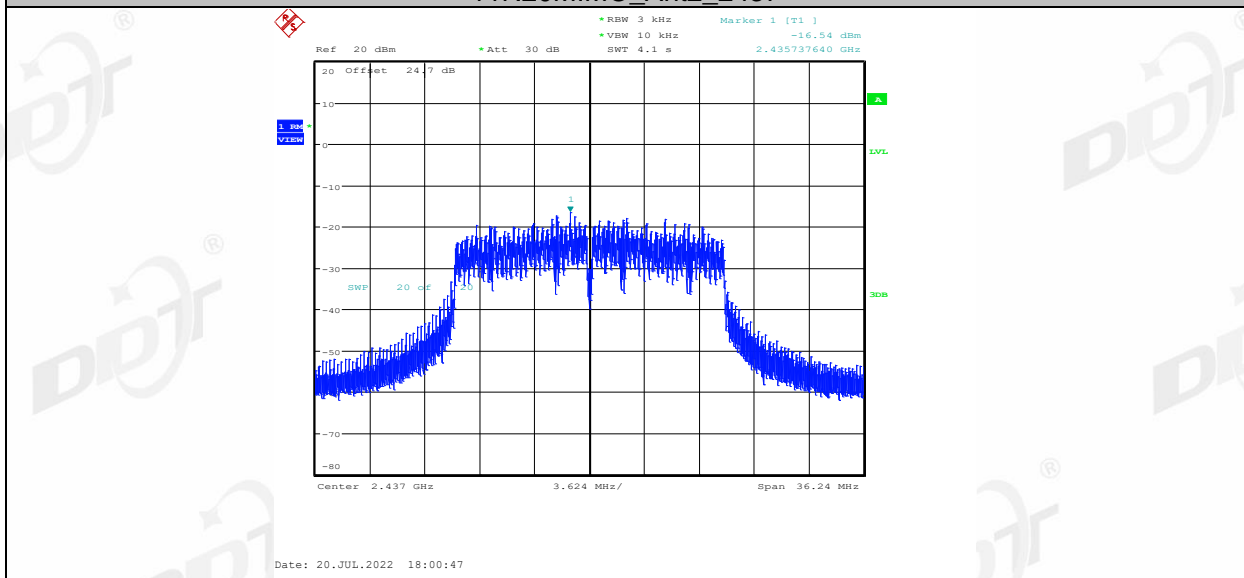
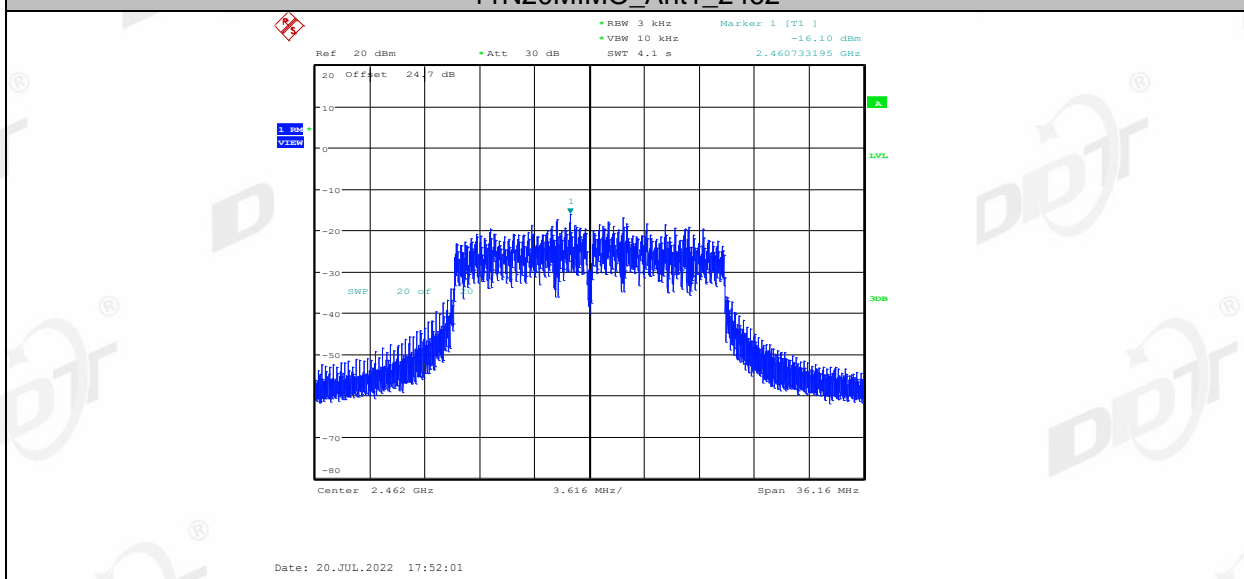


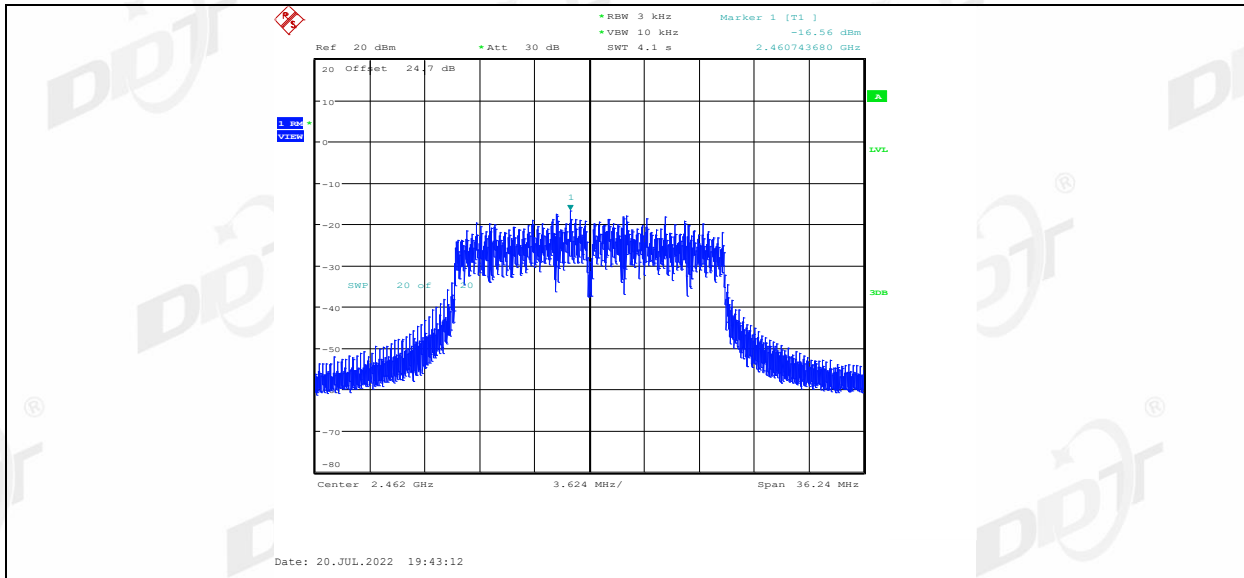
11N20MIMO_Ant2_2437



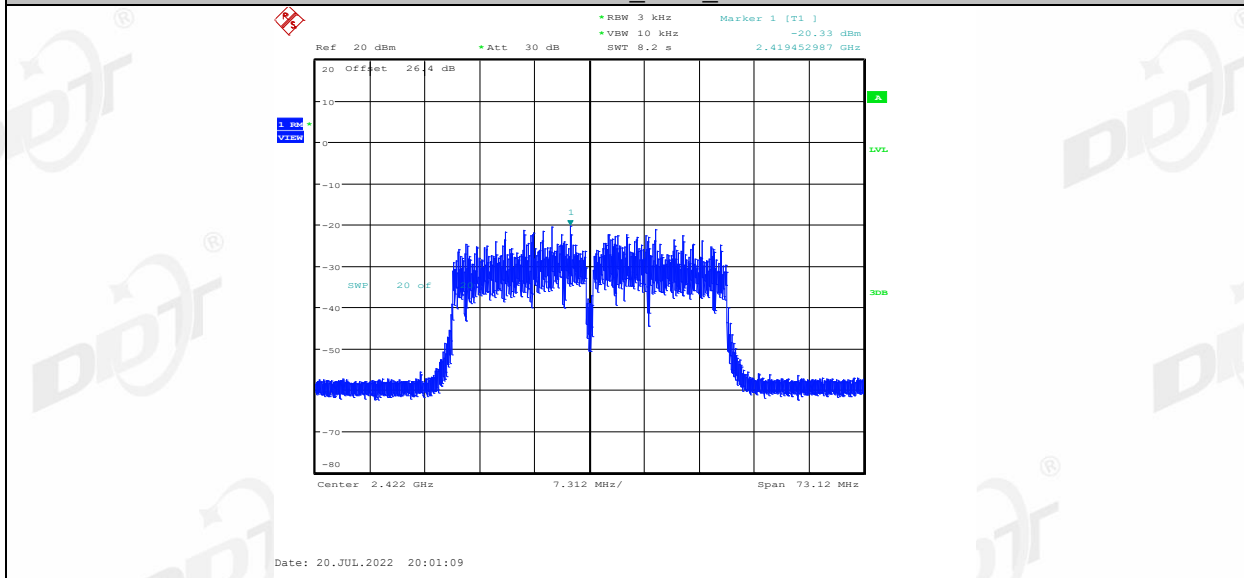
11N20MIMO_Ant1_2462



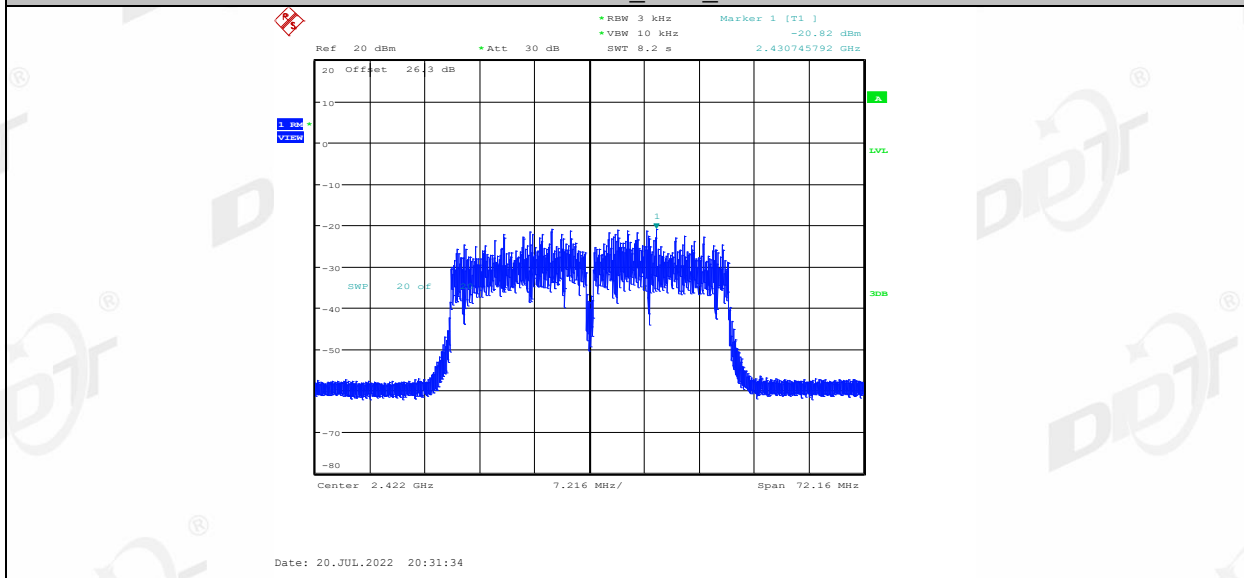
11N20MIMO_Ant2_2462



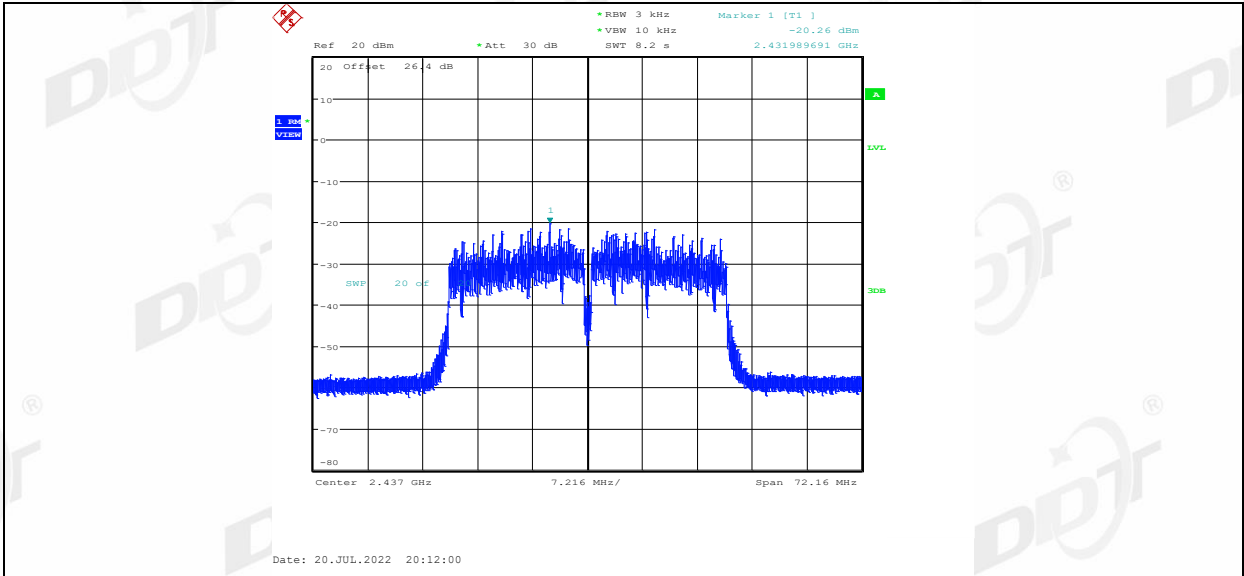
11N40MIMO_Ant1_2422



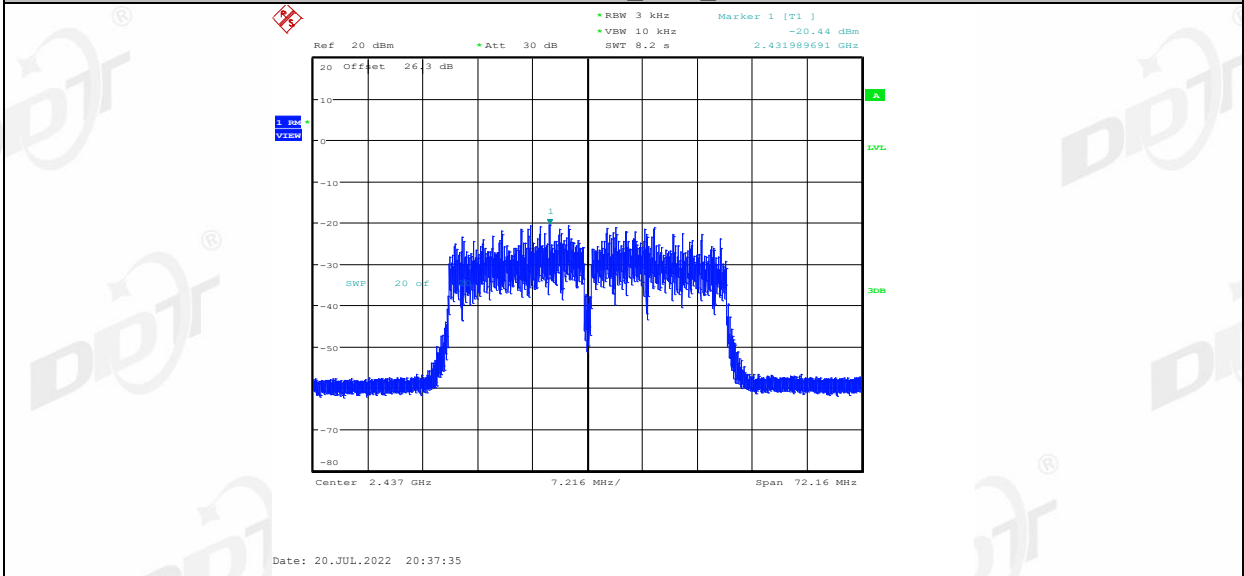
11N40MIMO_Ant2_2422



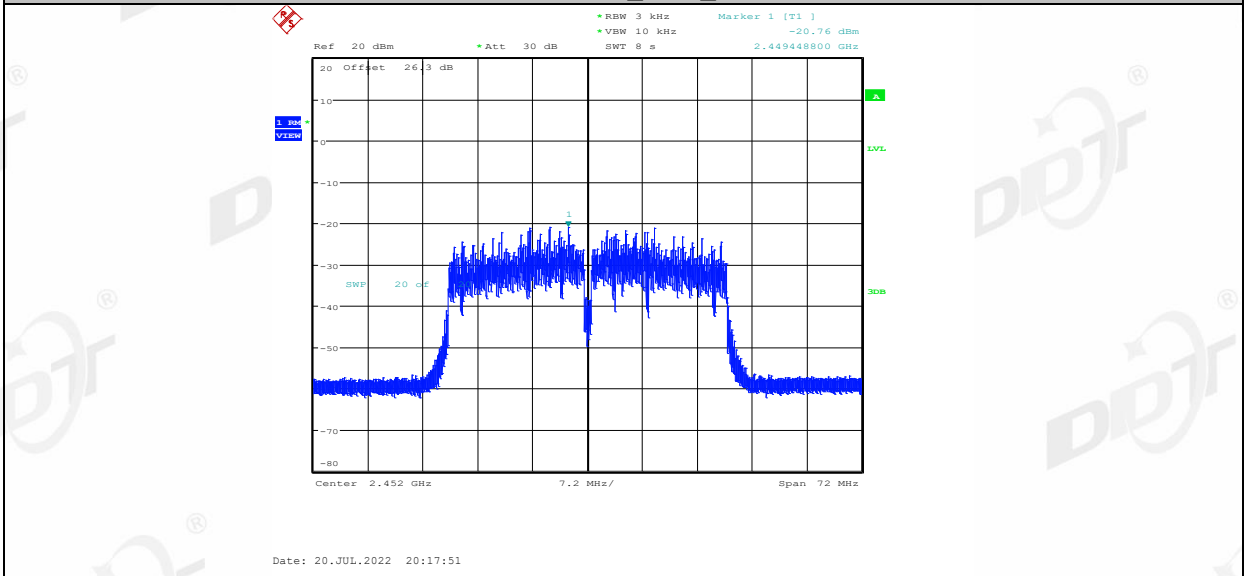
11N40MIMO_Ant1_2437



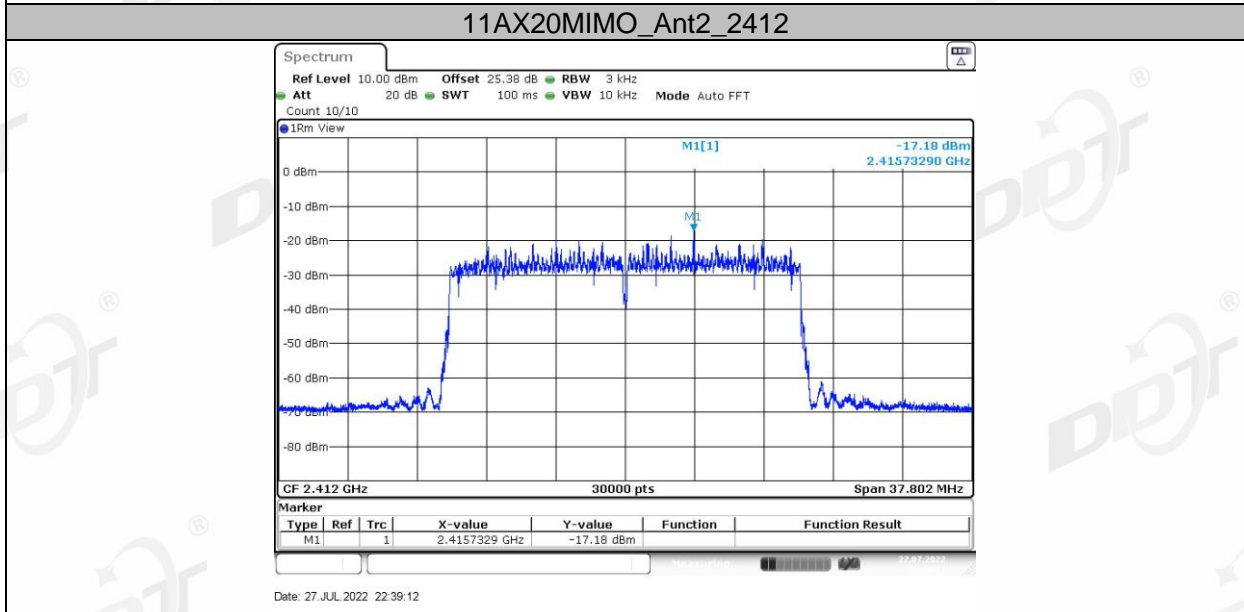
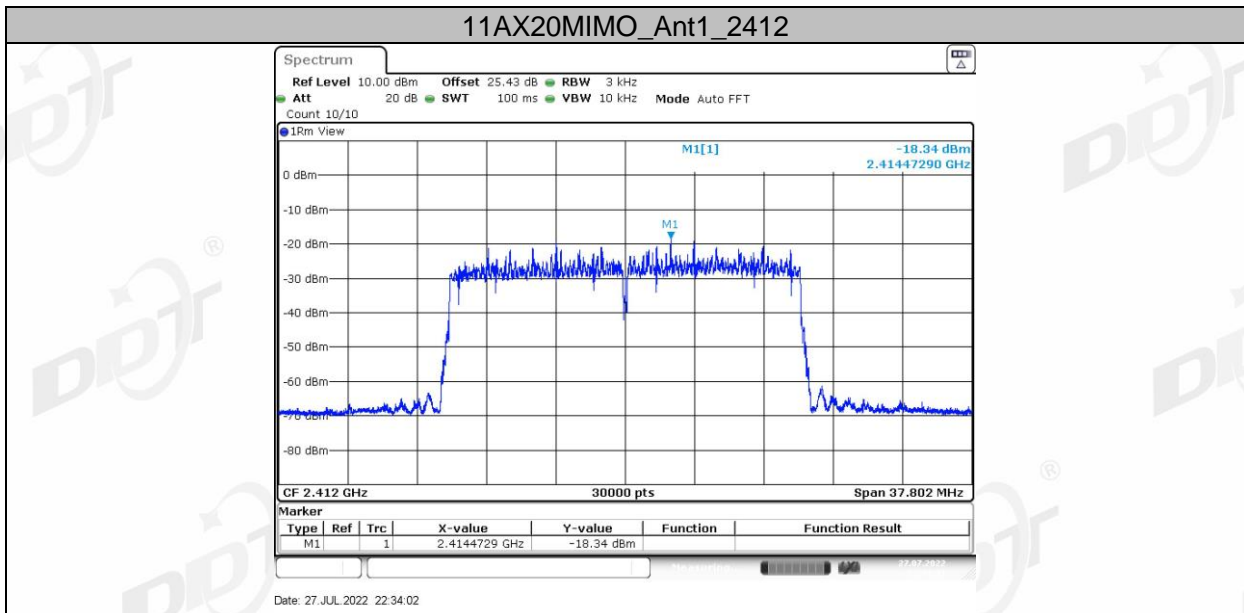
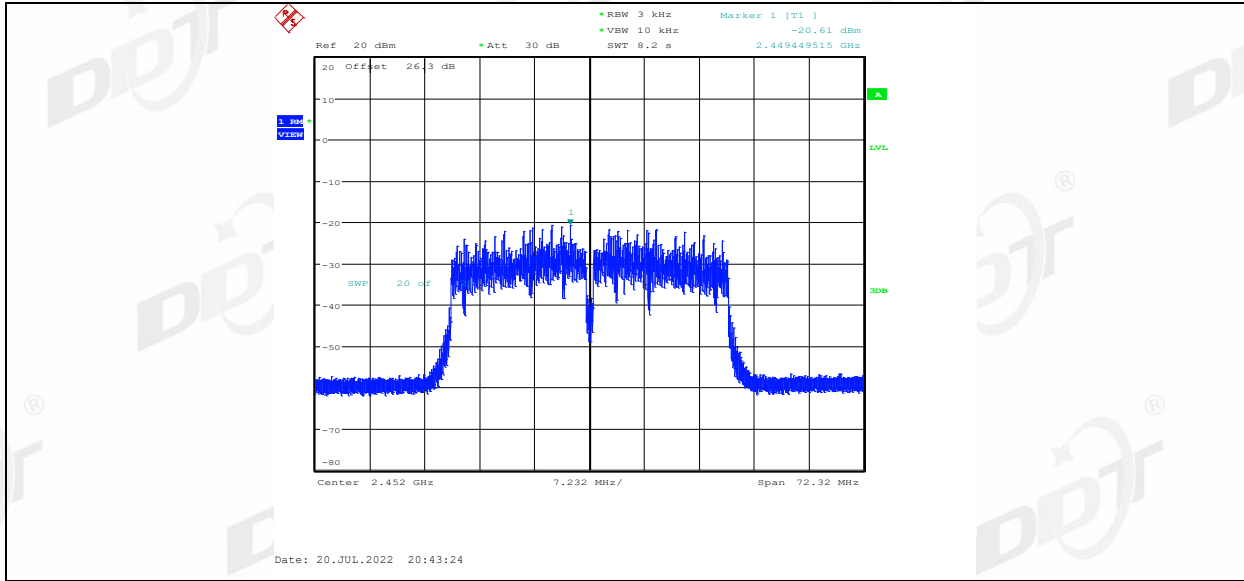
11N40MIMO_Ant2_2437



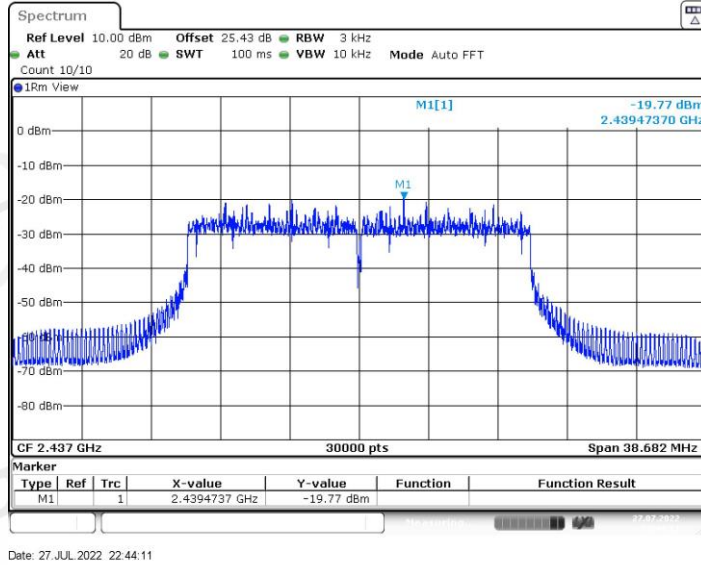
11N40MIMO_Ant1_2452



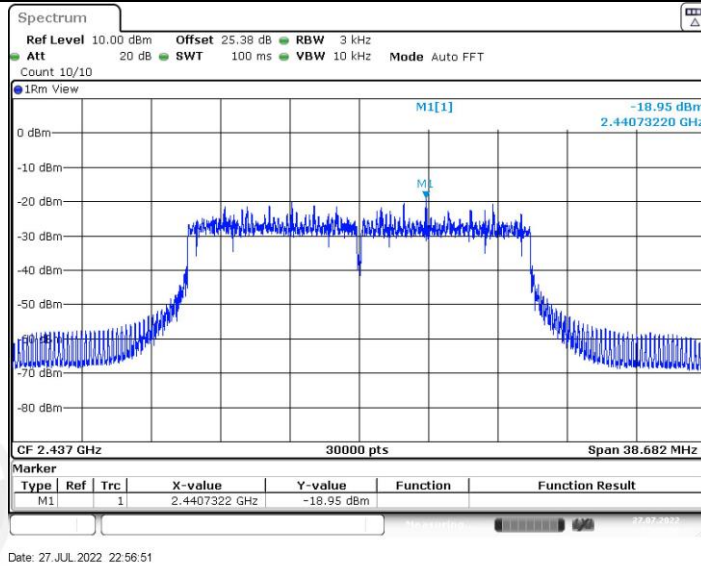
11N40MIMO_Ant2_2452



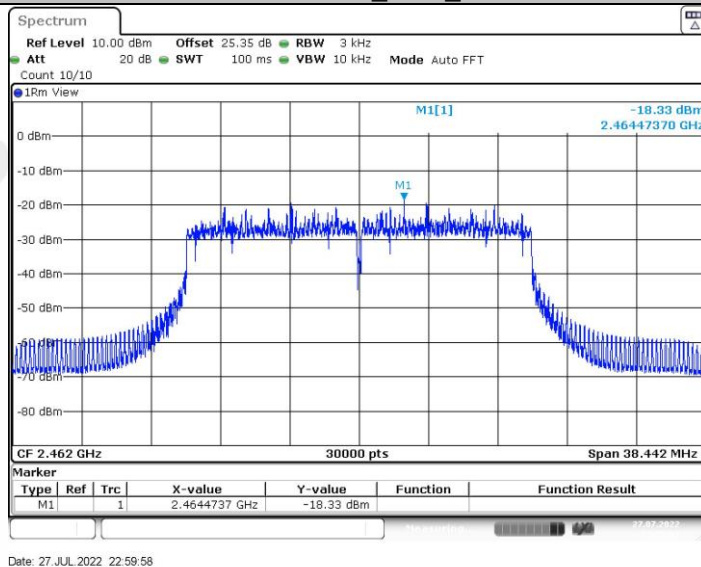
11AX20MIMO_Ant1_2437

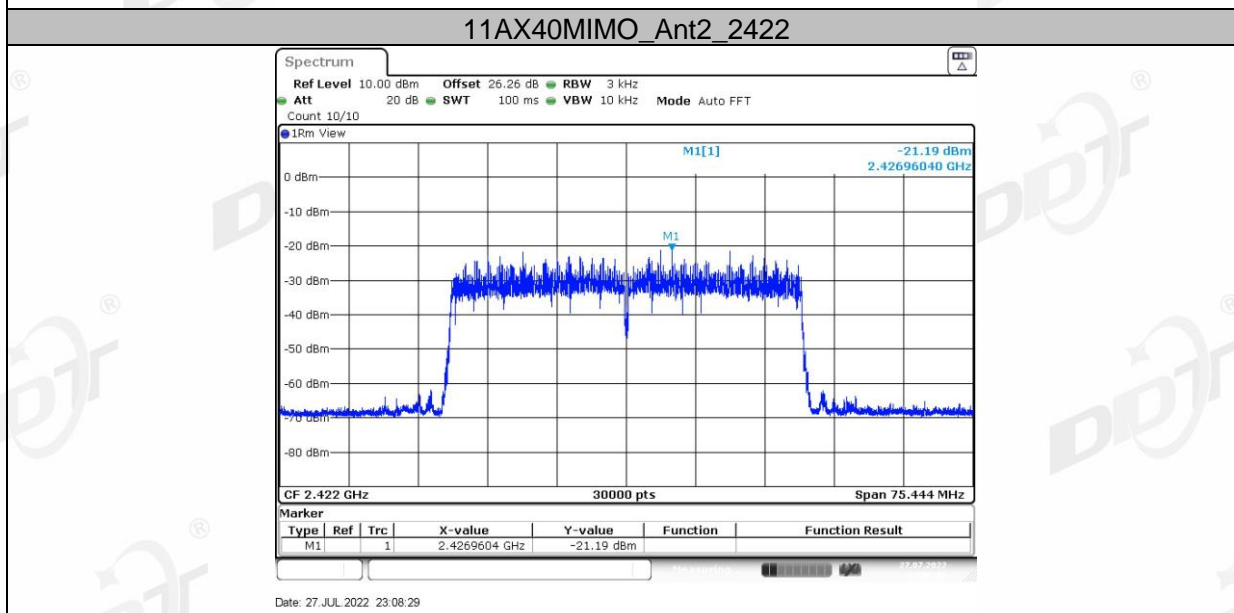
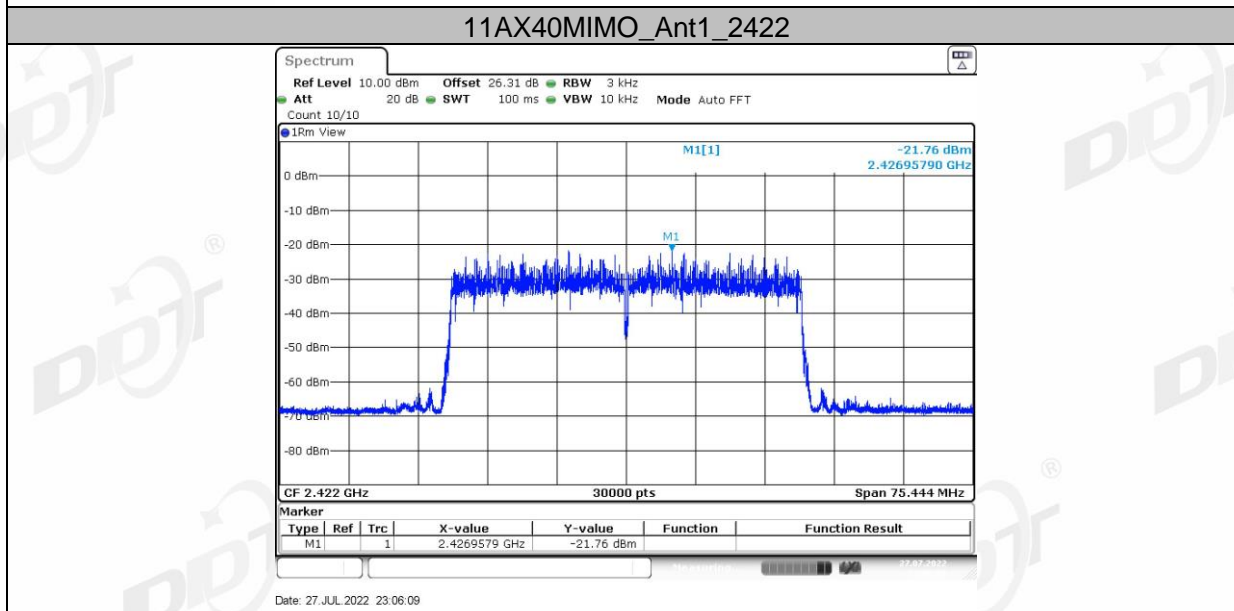
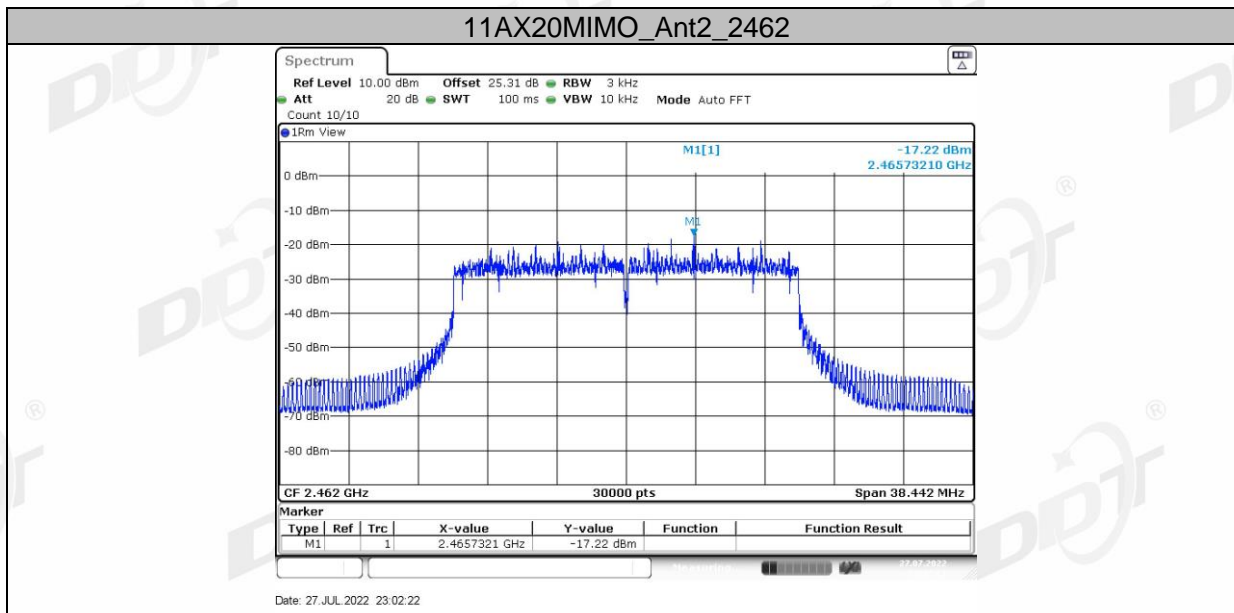


11AX20MIMO_Ant2_2437

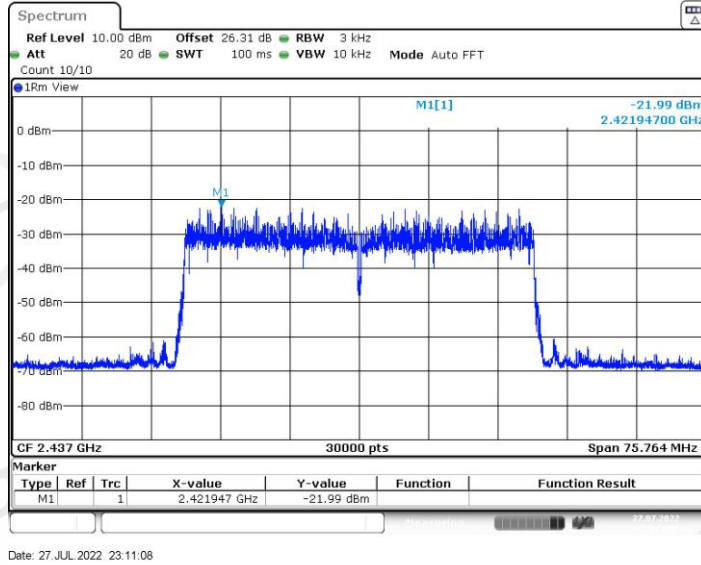


11AX20MIMO_Ant1_2462

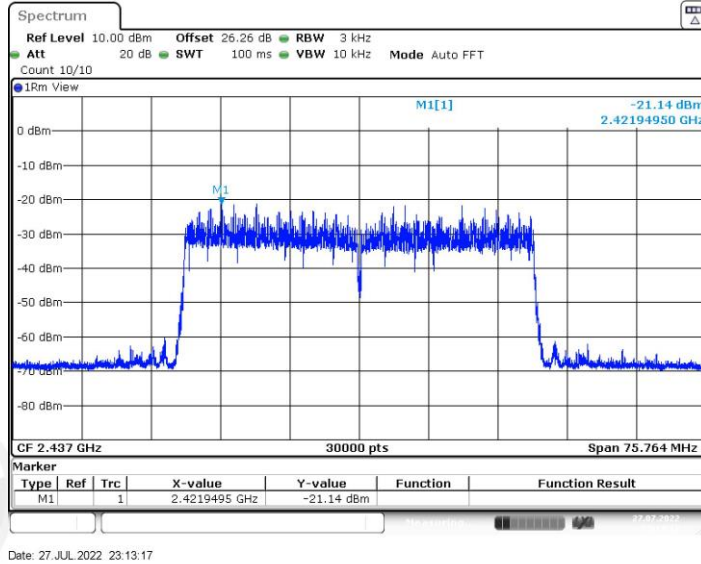




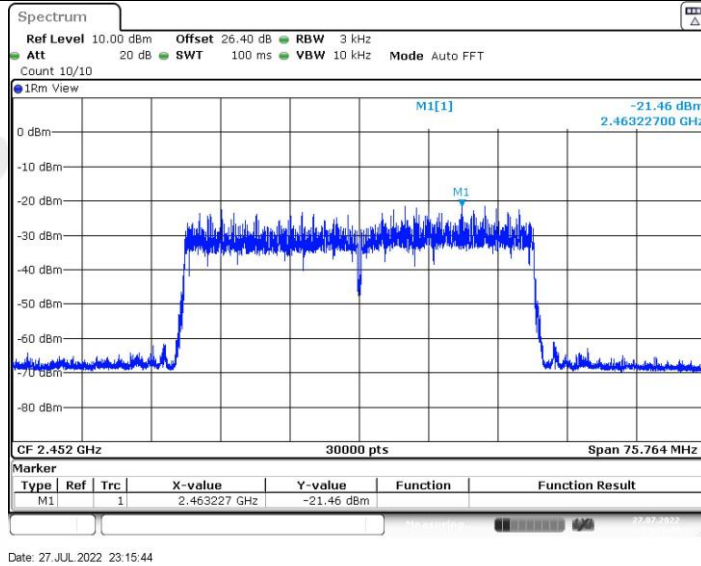
11AX40MIMO_Ant1_2437



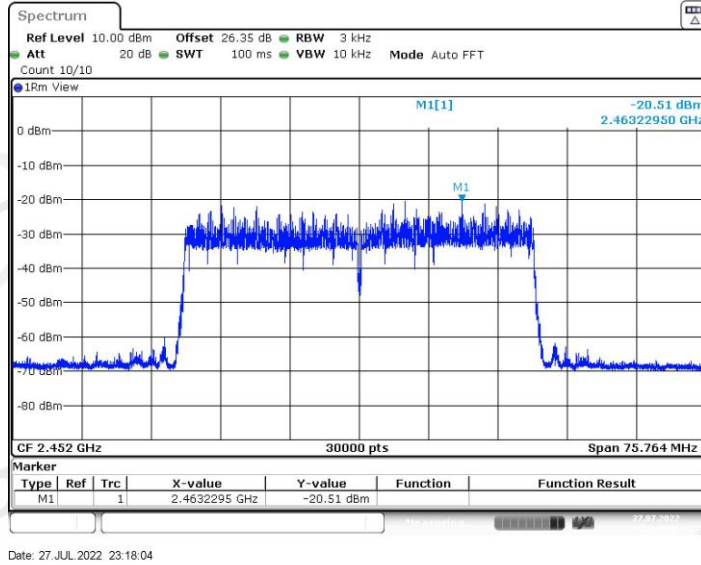
11AX40MIMO_Ant2_2437



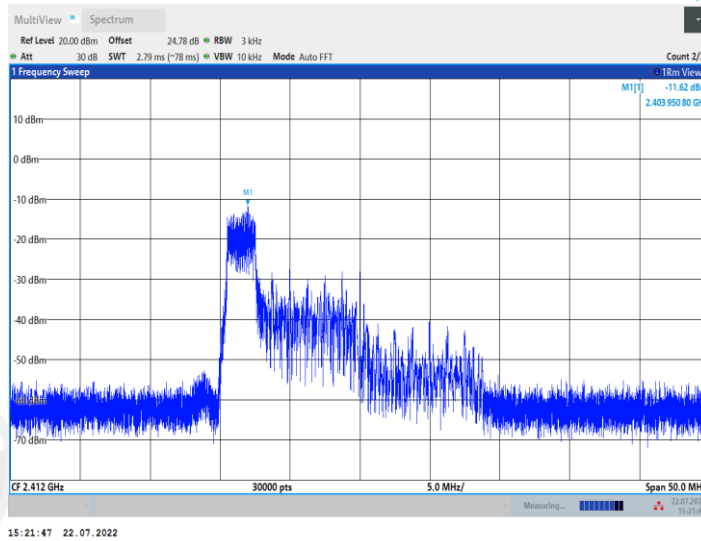
11AX40MIMO_Ant1_2452



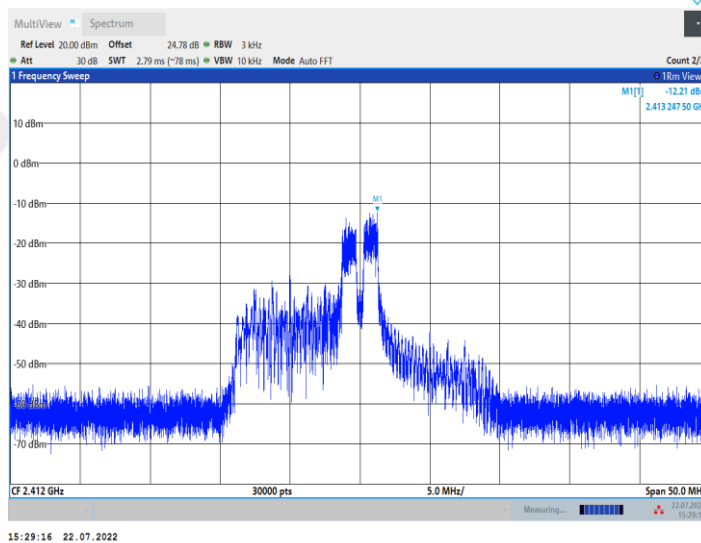
11AX40MIMO_Ant2_2452



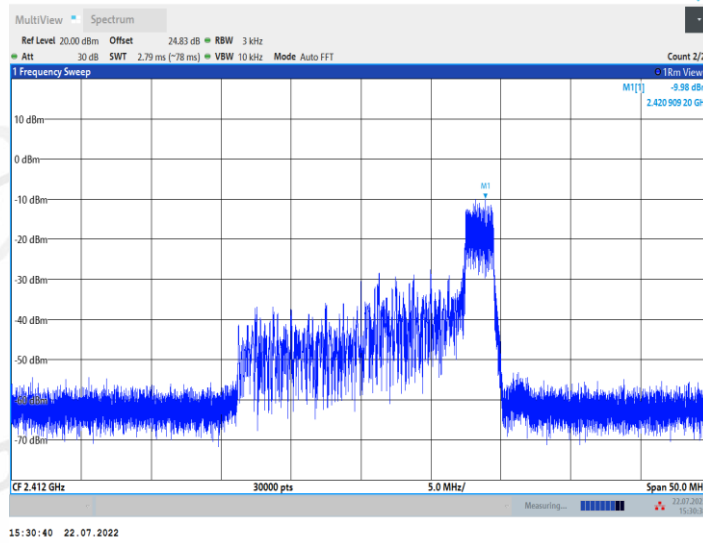
11AX20MIMO_Ant1_2412_26Tone_RU0



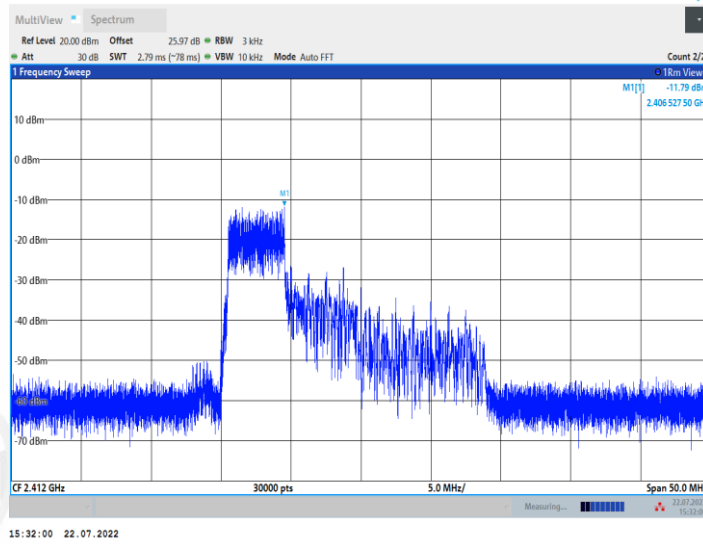
11AX20MIMO_Ant1_2412_26Tone_RU4



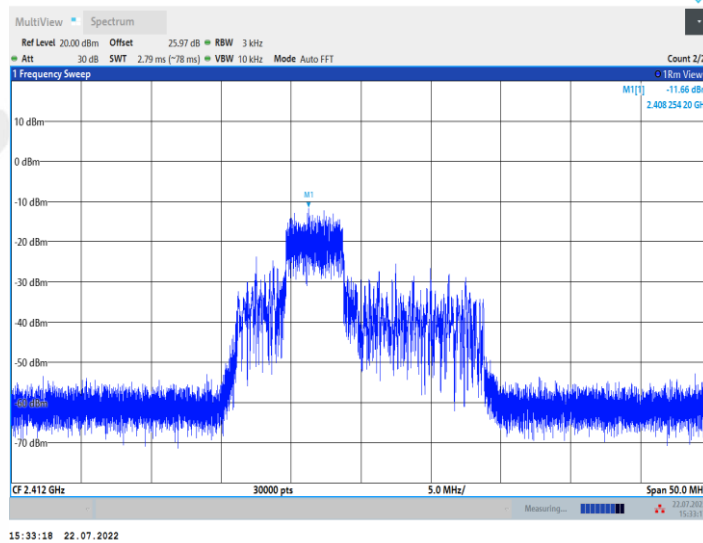
11AX20MIMO_Ant1_2412_26Tone_RU8



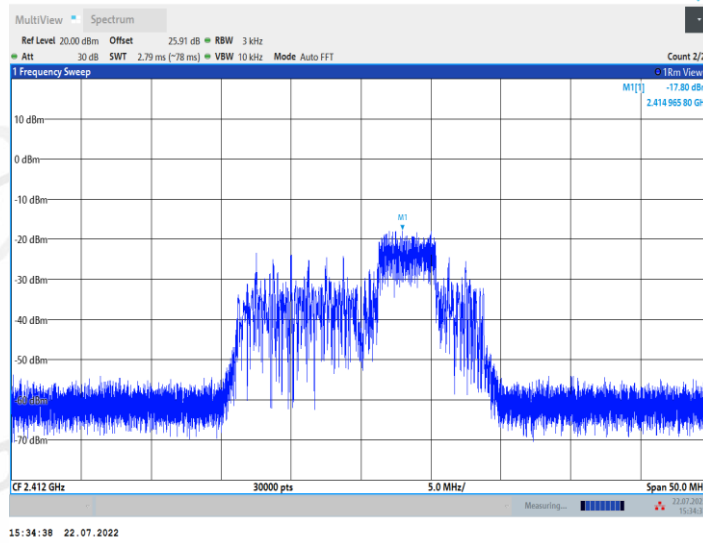
11AX20MIMO_Ant1_2412_52Tone_RU37



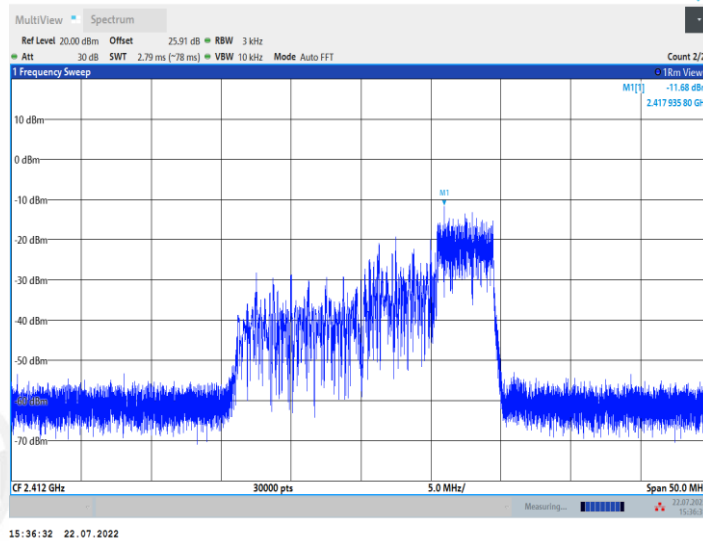
11AX20MIMO_Ant1_2412_52Tone_RU38



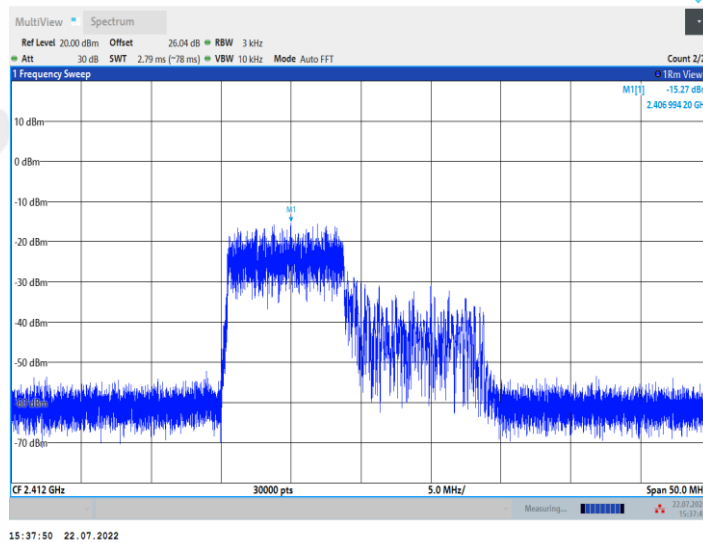
11AX20MIMO_Ant1_2412_52Tone_RU39



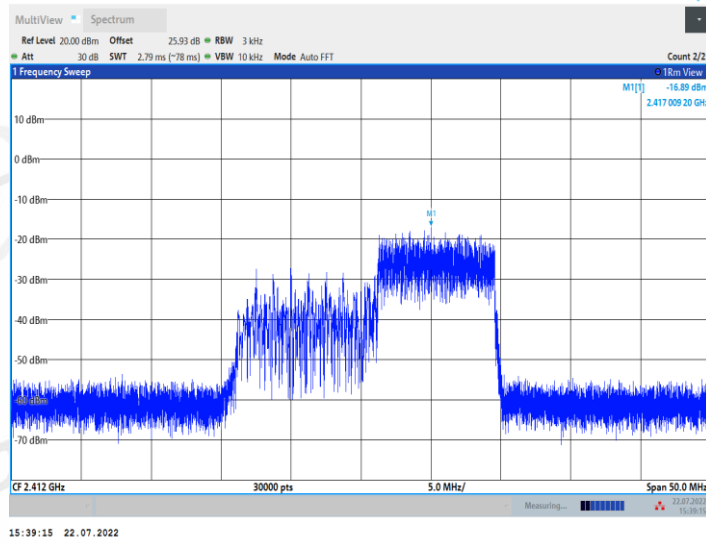
11AX20MIMO_Ant1_2412_52Tone_RU40



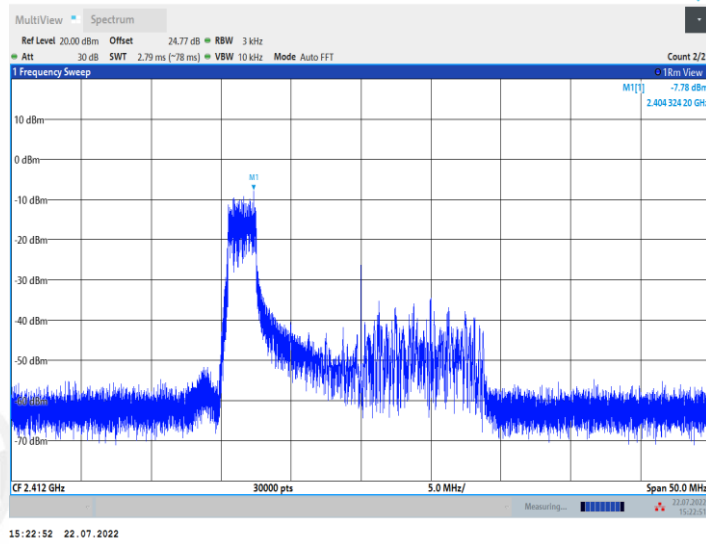
11AX20MIMO_Ant1_2412_106Tone_RU53



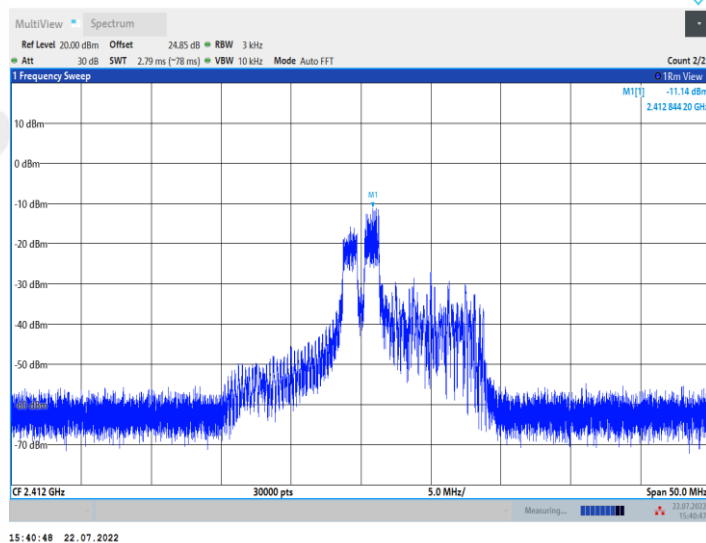
11AX20MIMO_Ant1_2412_106Tone_RU54



11AX20MIMO_Ant2_2412_26Tone_RU0



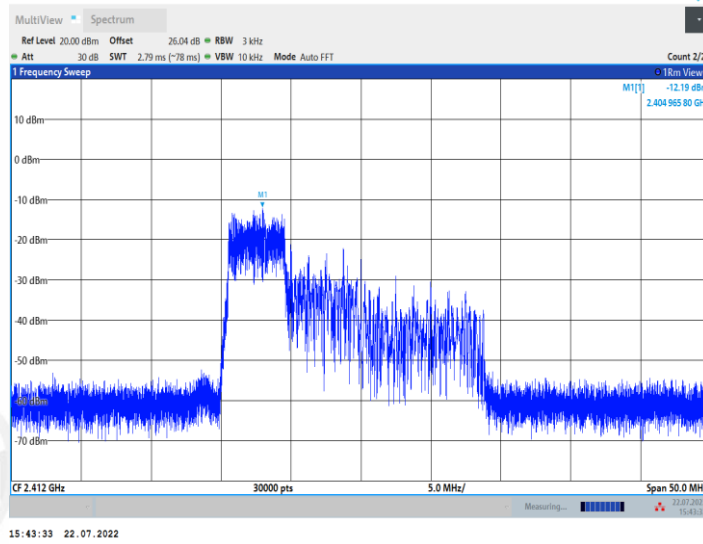
11AX20MIMO_Ant2_2412_26Tone_RU4



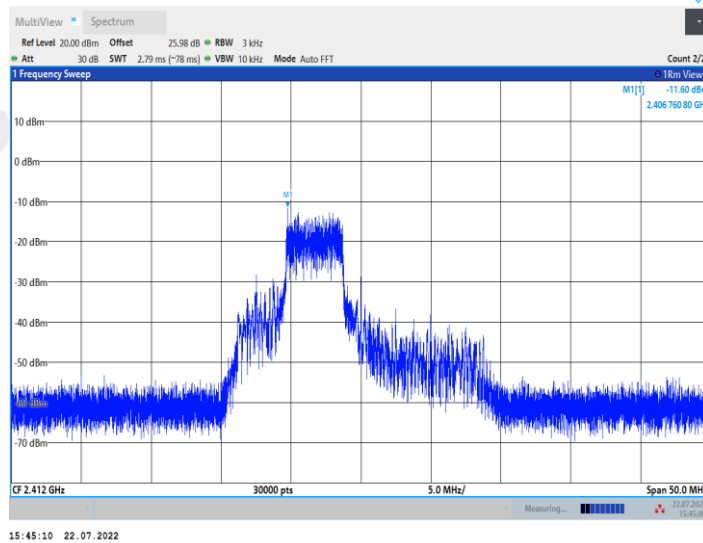
11AX20MIMO_Ant2_2412_26Tone_RU8



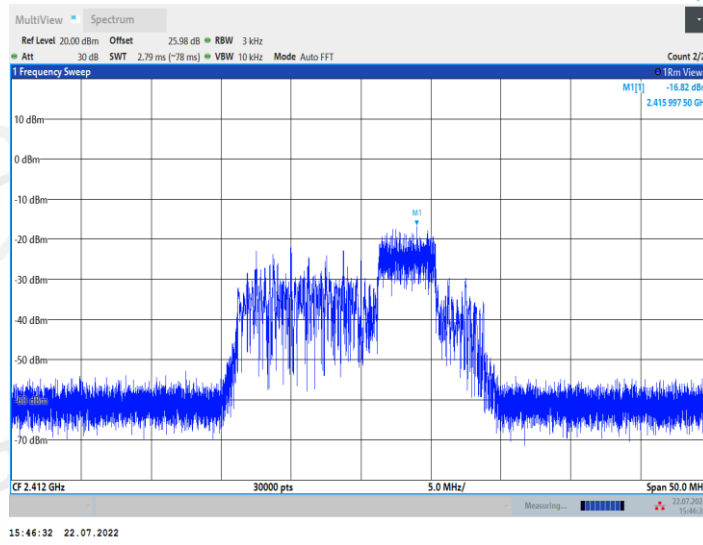
11AX20MIMO_Ant2_2412_52Tone_RU37



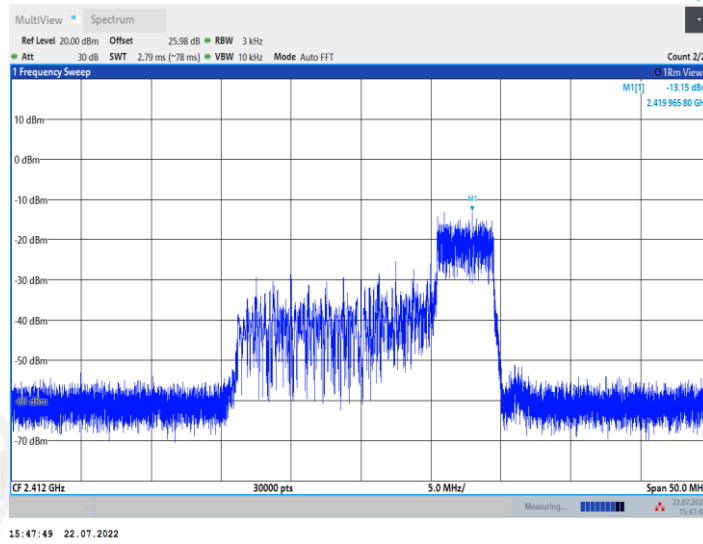
11AX20MIMO_Ant2_2412_52Tone_RU38



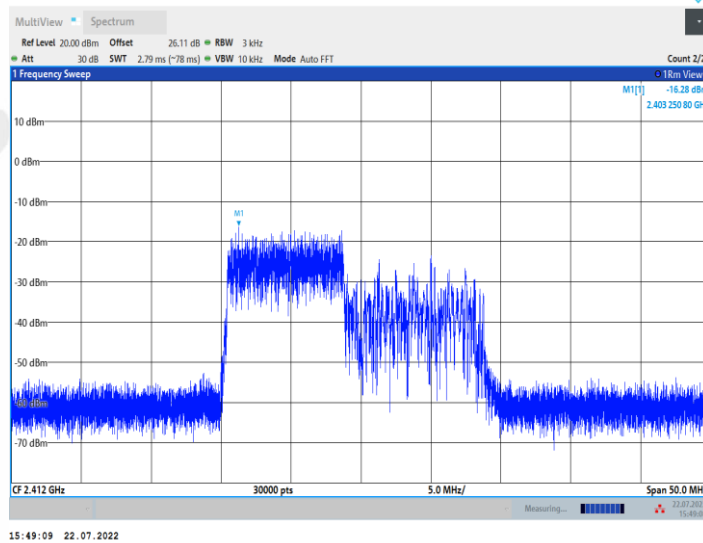
11AX20MIMO_Ant2_2412_52Tone_RU39



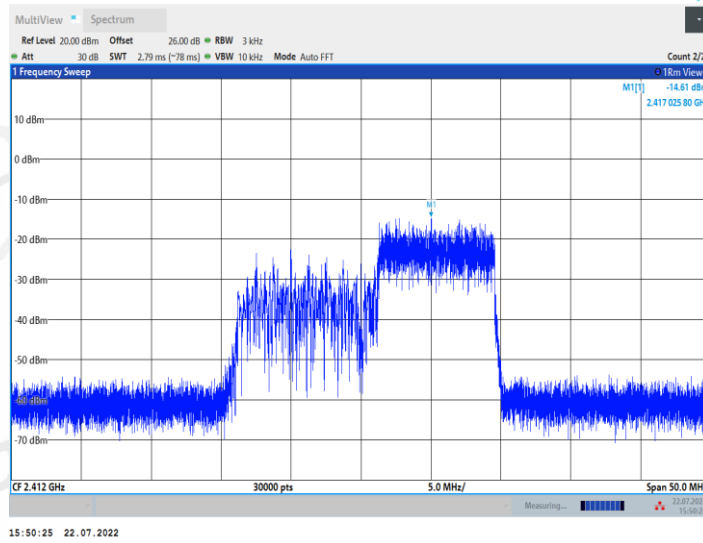
11AX20MIMO_Ant2_2412_52Tone_RU40



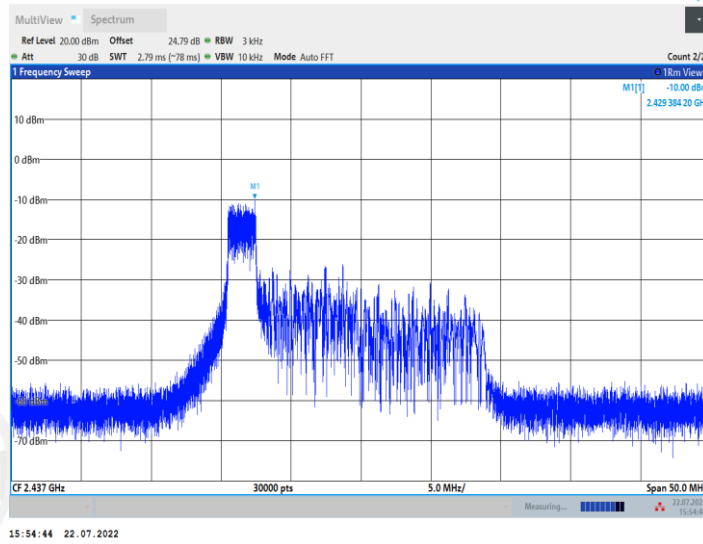
11AX20MIMO_Ant2_2412_106Tone_RU53



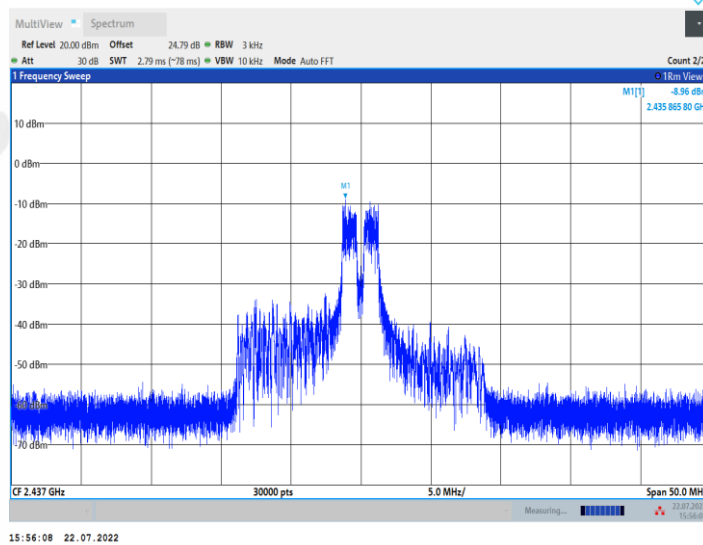
11AX20MIMO_Ant2_2412_106Tone_RU54



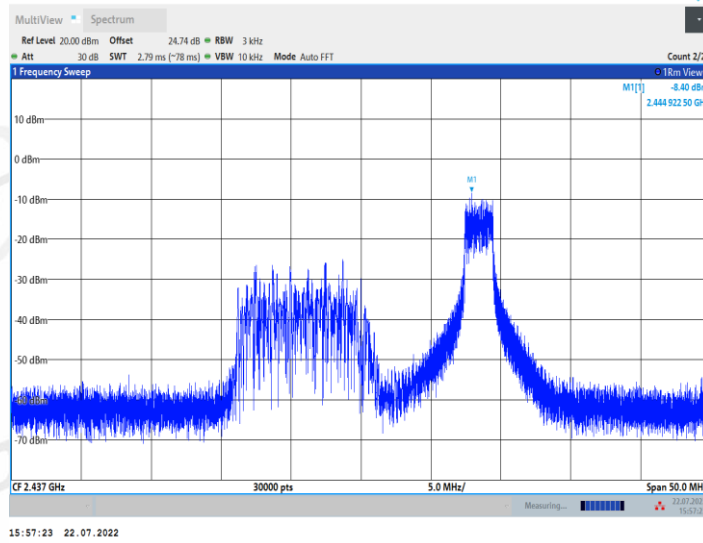
11AX20MIMO_Ant1_2437_26Tone_RU0



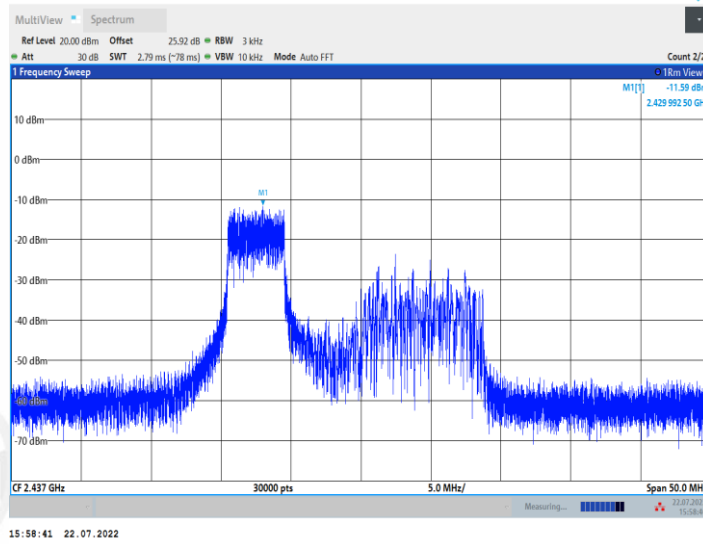
11AX20MIMO_Ant1_2437_26Tone_RU4



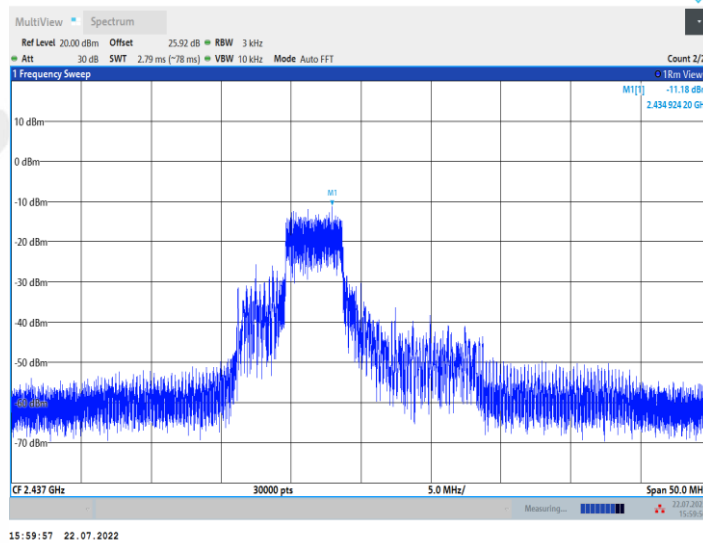
11AX20MIMO_Ant1_2437_26Tone_RU8



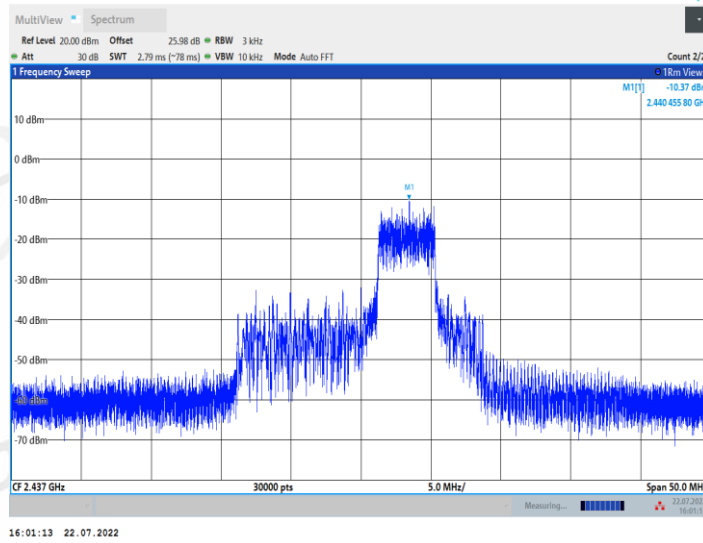
11AX20MIMO_Ant1_2437_52Tone_RU37



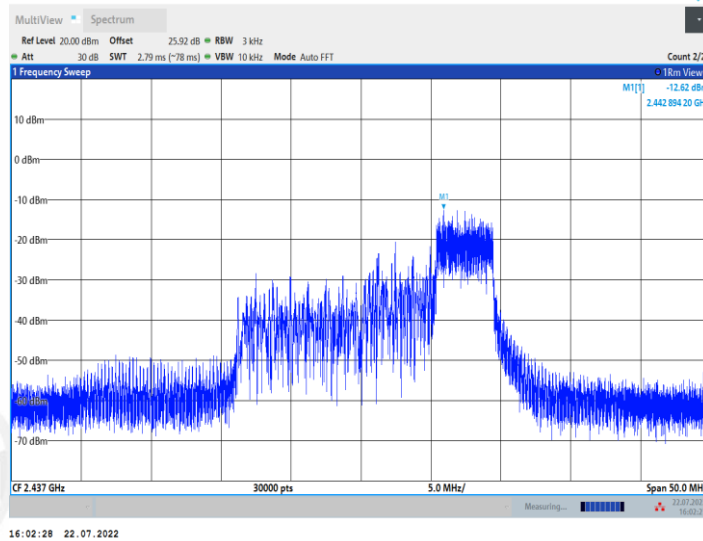
11AX20MIMO_Ant1_2437_52Tone_RU38



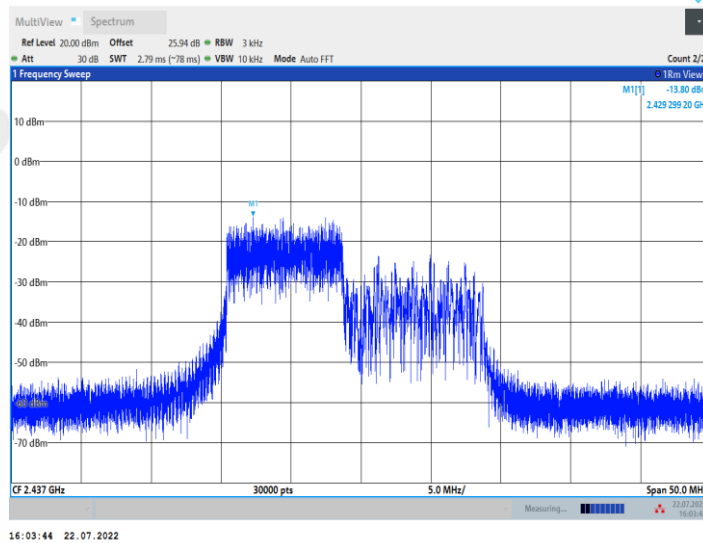
11AX20MIMO_Ant1_2437_52Tone_RU39



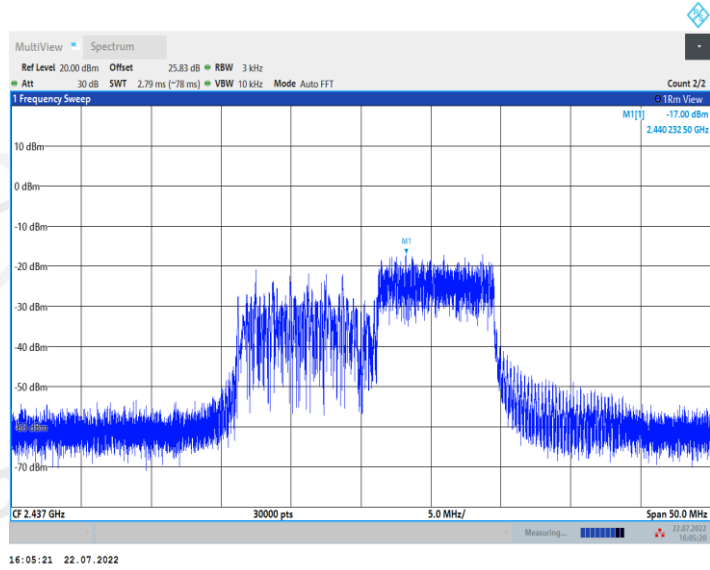
11AX20MIMO_Ant1_2437_52Tone_RU40



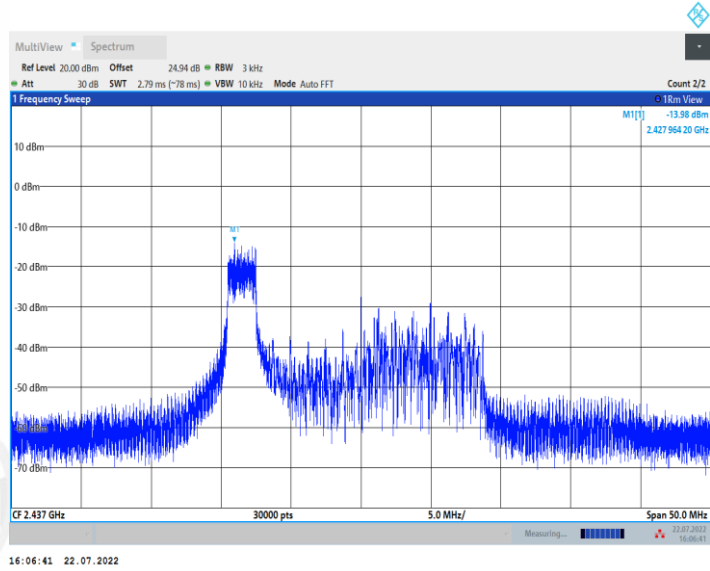
11AX20MIMO_Ant1_2437_106Tone_RU53



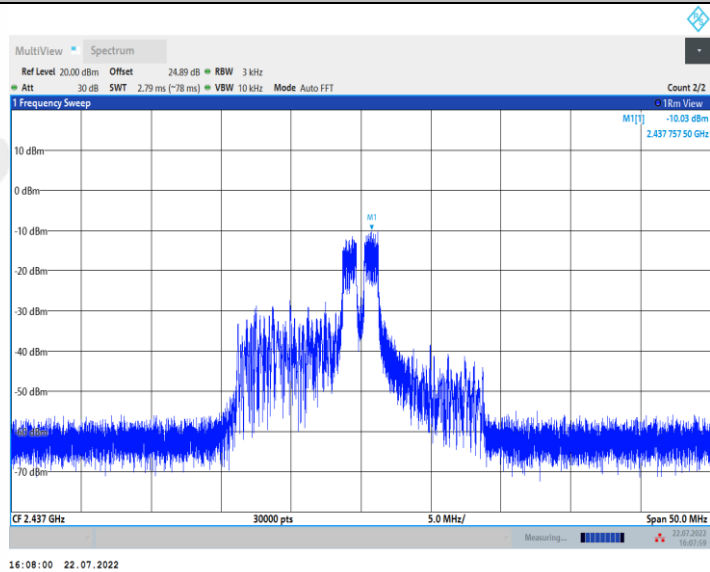
11AX20MIMO_Ant1_2437_106Tone_RU54



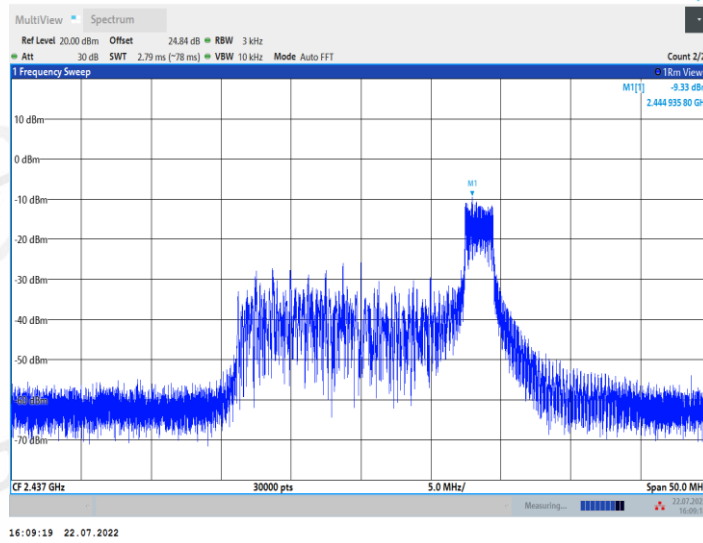
11AX20MIMO_Ant2_2437_26Tone_RU0



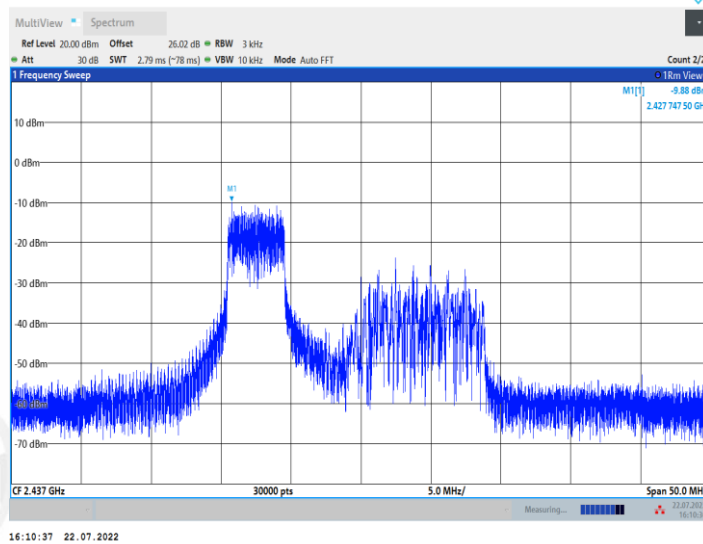
11AX20MIMO_Ant2_2437_26Tone_RU4



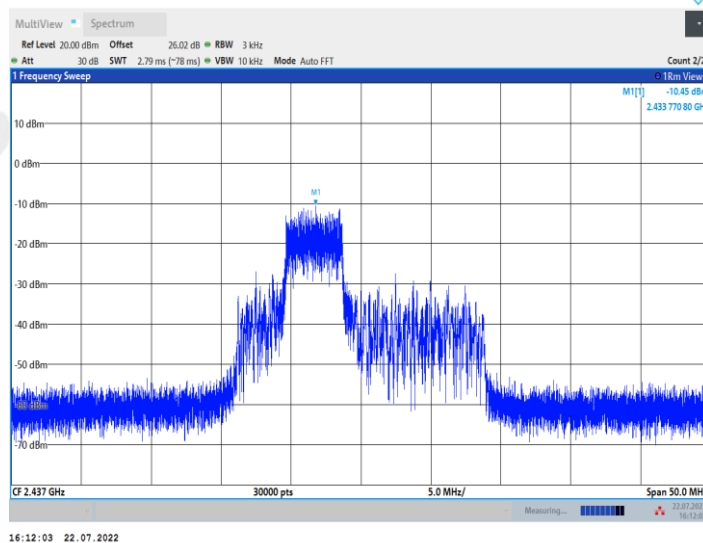
11AX20MIMO_Ant2_2437_26Tone_RU8



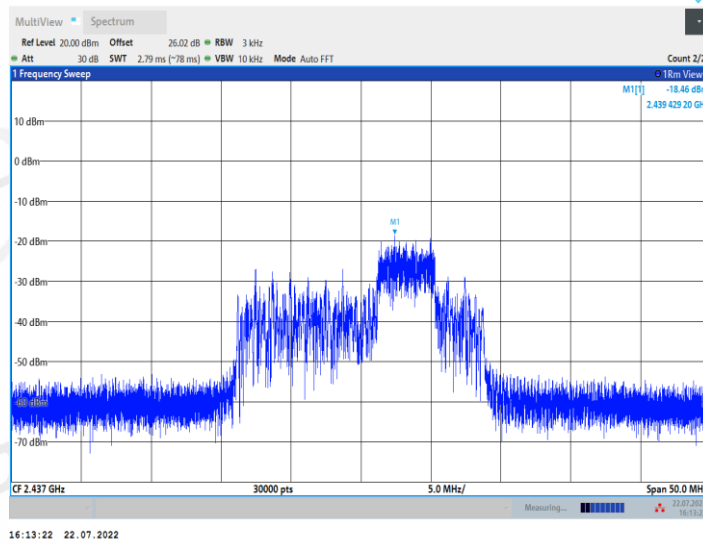
11AX20MIMO_Ant2_2437_52Tone_RU37



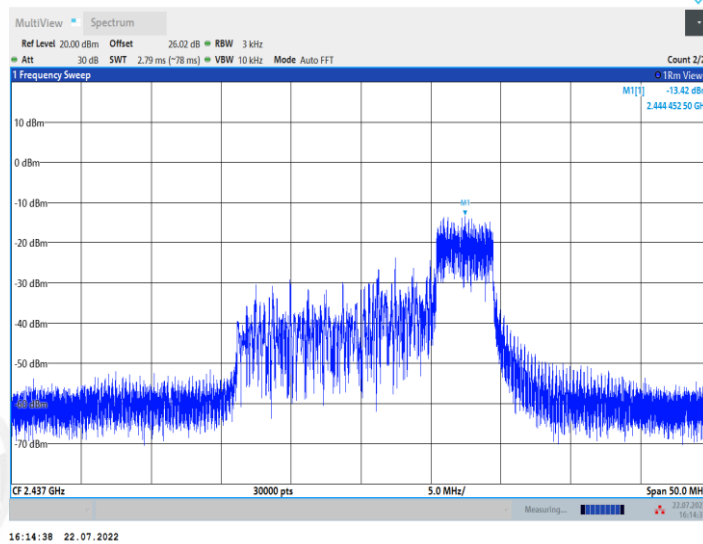
11AX20MIMO_Ant2_2437_52Tone_RU38



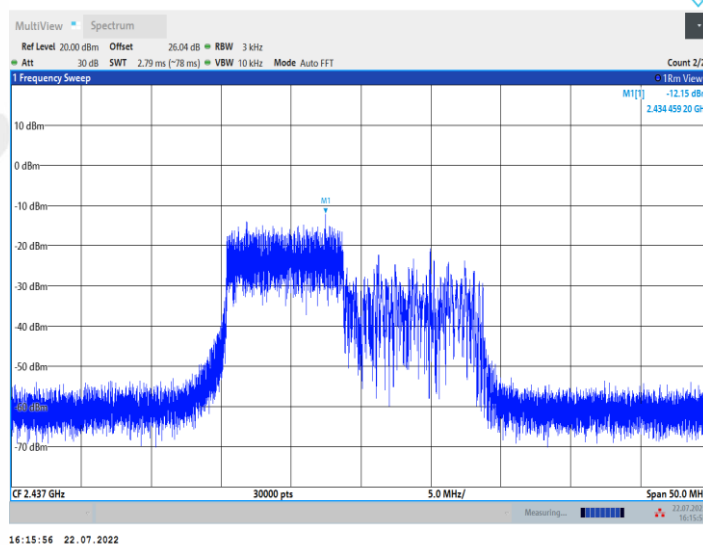
11AX20MIMO_Ant2_2437_52Tone_RU39



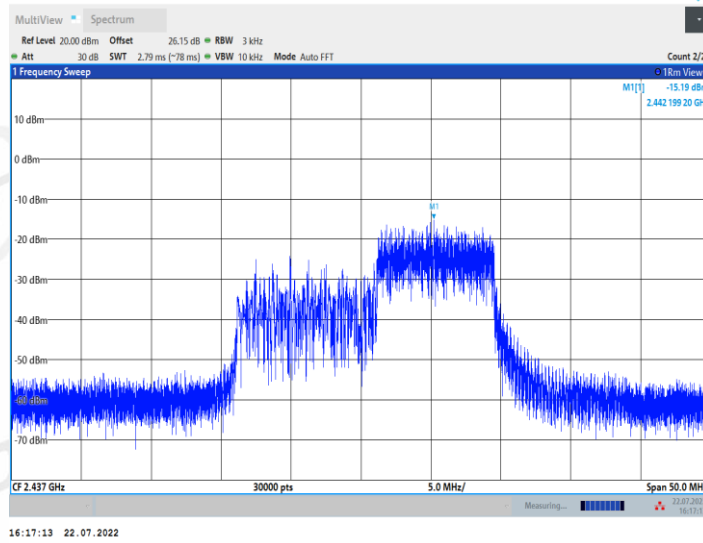
11AX20MIMO_Ant2_2437_52Tone_RU40



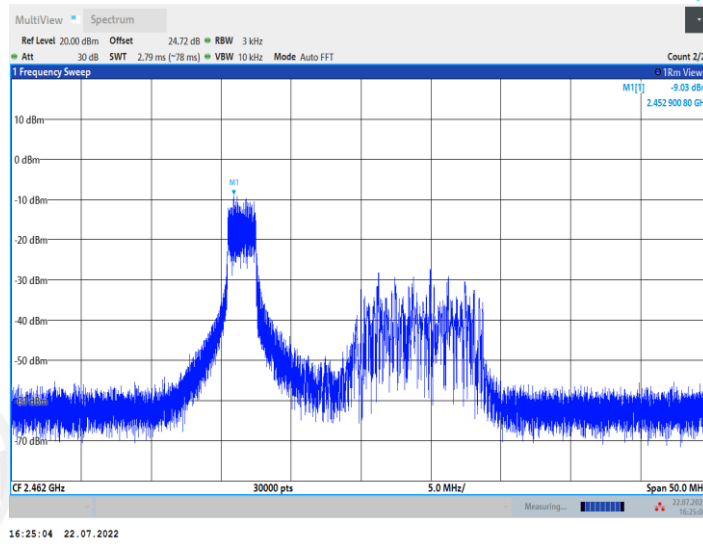
11AX20MIMO_Ant2_2437_106Tone_RU53



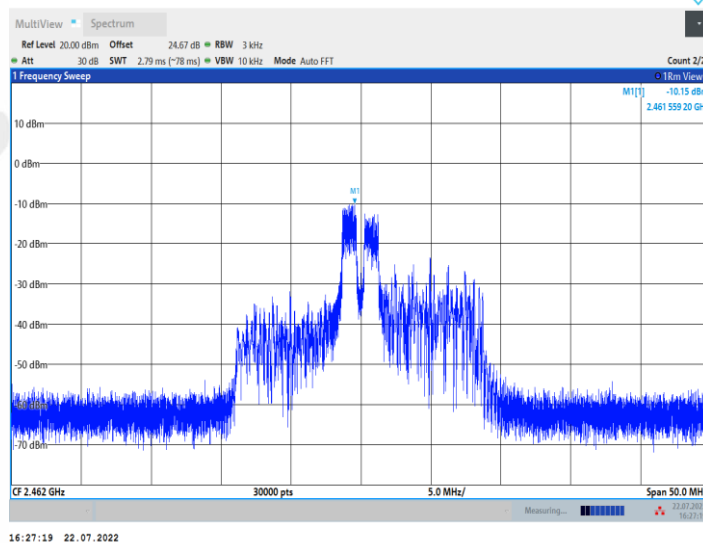
11AX20MIMO_Ant2_2437_106Tone_RU54



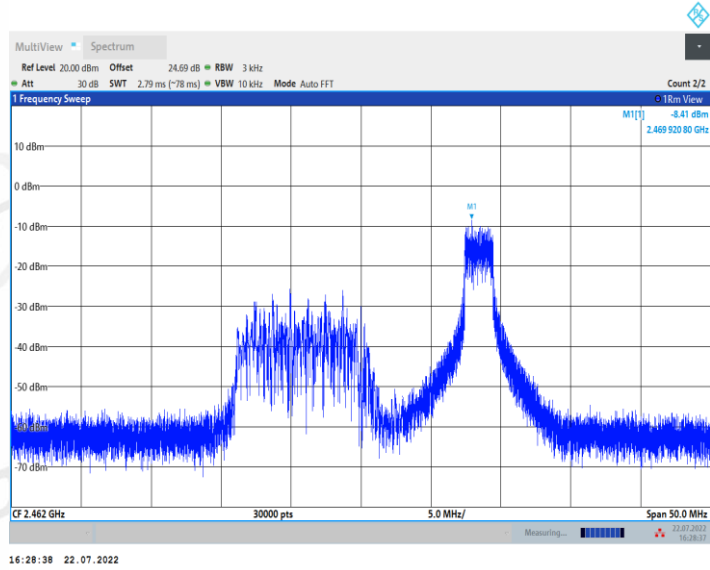
11AX20MIMO_Ant1_2462_26Tone_RU0



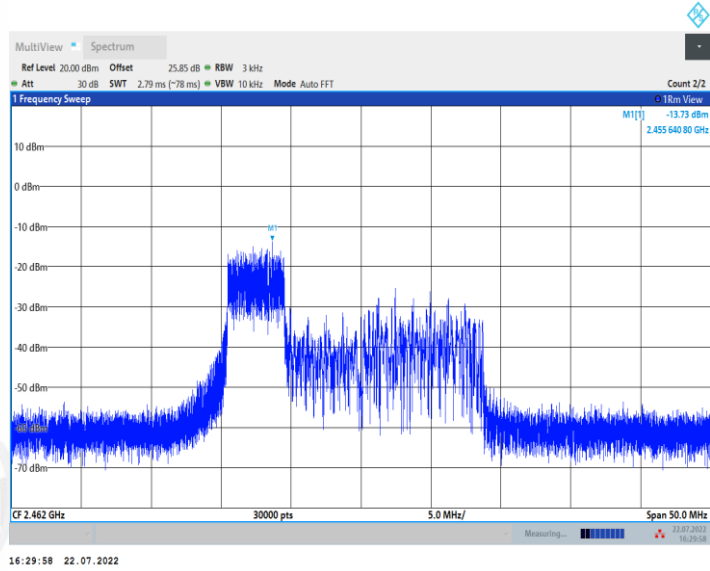
11AX20MIMO_Ant1_2462_26Tone_RU4



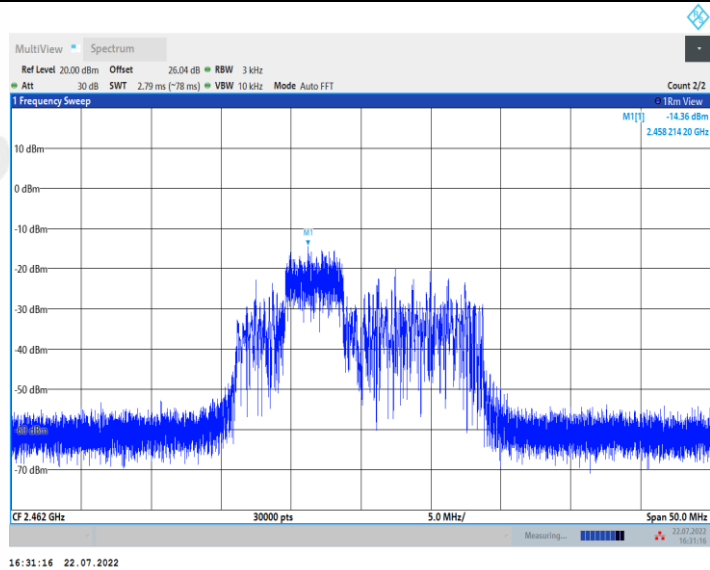
11AX20MIMO_Ant1_2462_26Tone_RU8



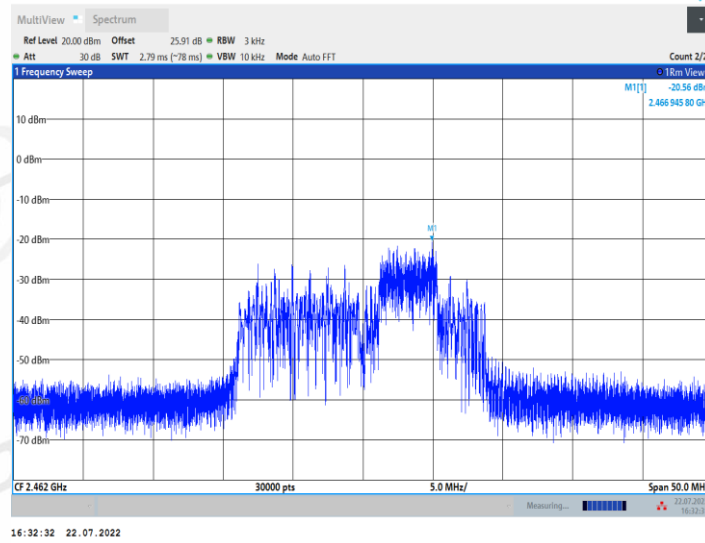
11AX20MIMO_Ant1_2462_52Tone_RU37



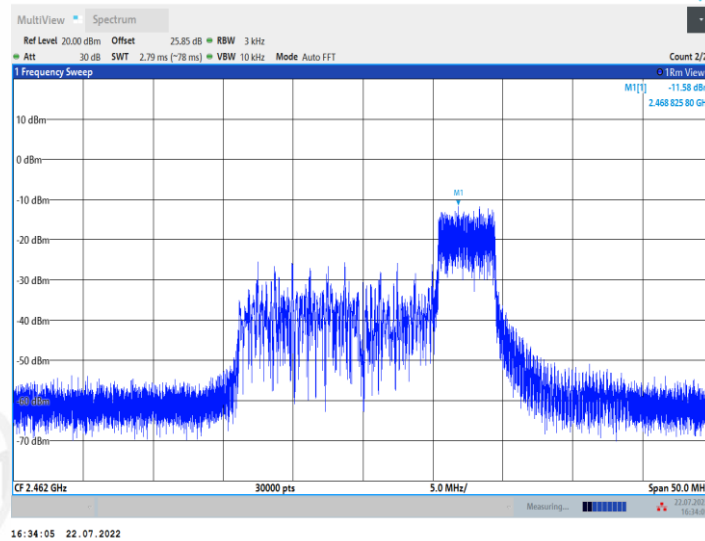
11AX20MIMO_Ant1_2462_52Tone_RU38



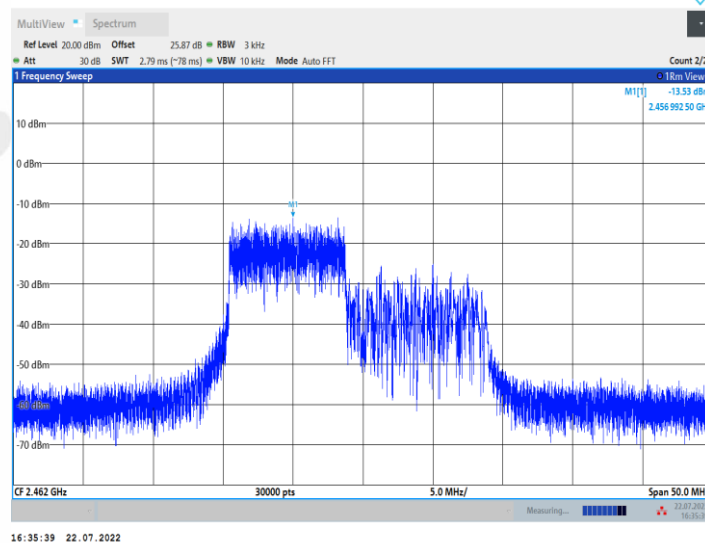
11AX20MIMO_Ant1_2462_52Tone_RU39



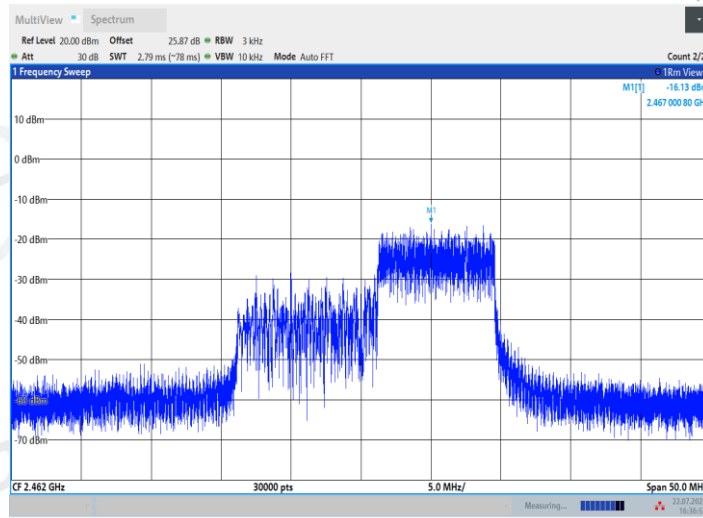
11AX20MIMO_Ant1_2462_52Tone_RU40



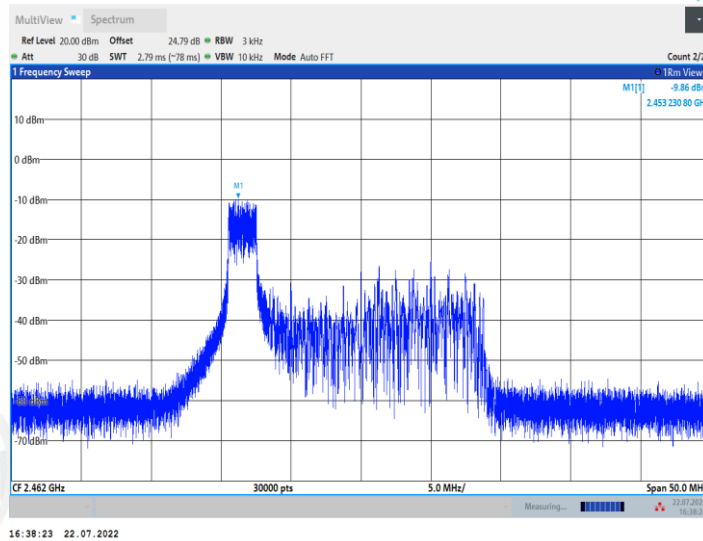
11AX20MIMO_Ant1_2462_106Tone_RU53



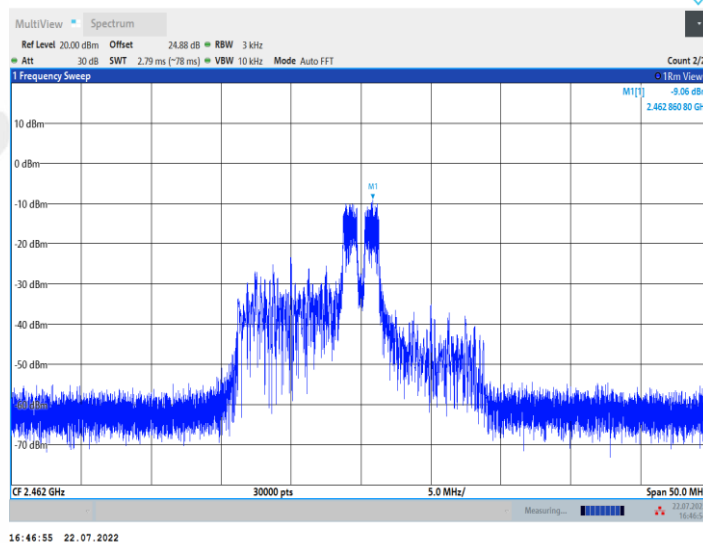
11AX20MIMO_Ant1_2462_106Tone_RU54



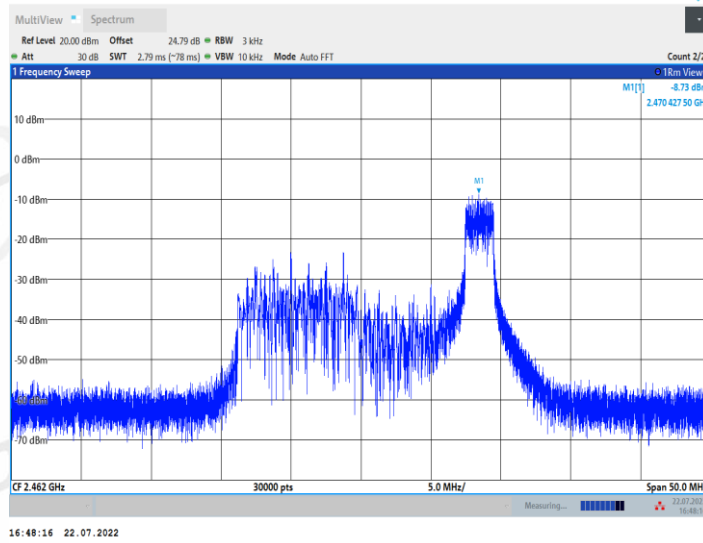
11AX20MIMO_Ant2_2462_26Tone_RU0



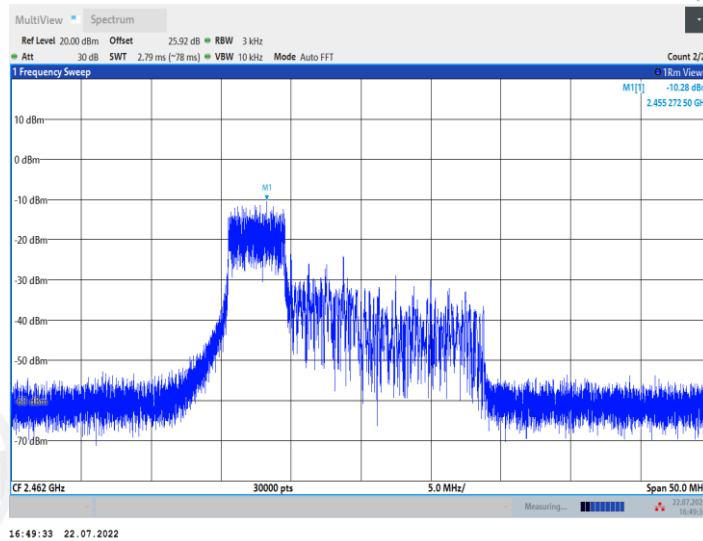
11AX20MIMO_Ant2_2462_26Tone_RU4



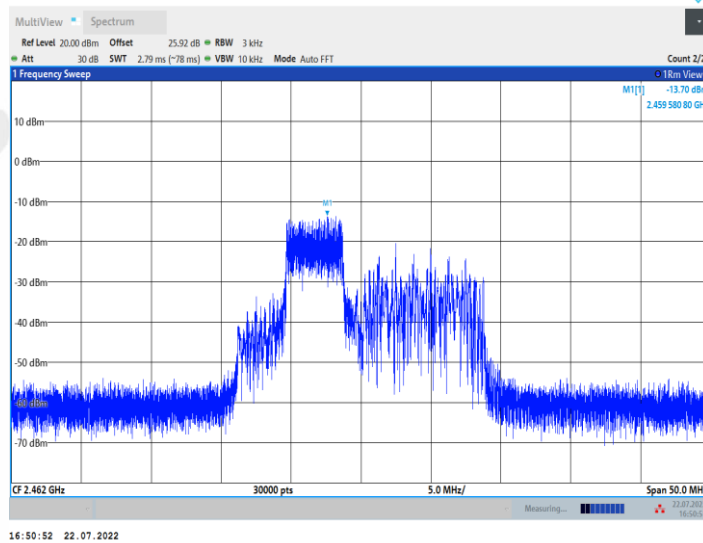
11AX20MIMO_Ant2_2462_26Tone_RU8



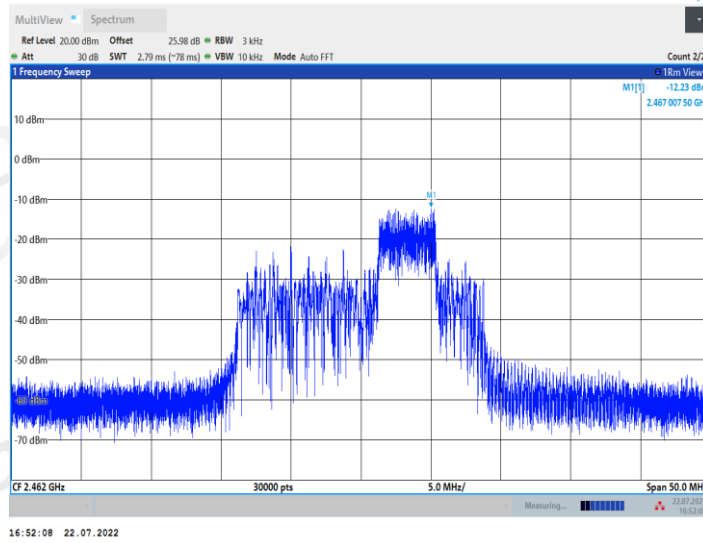
11AX20MIMO_Ant2_2462_52Tone_RU37



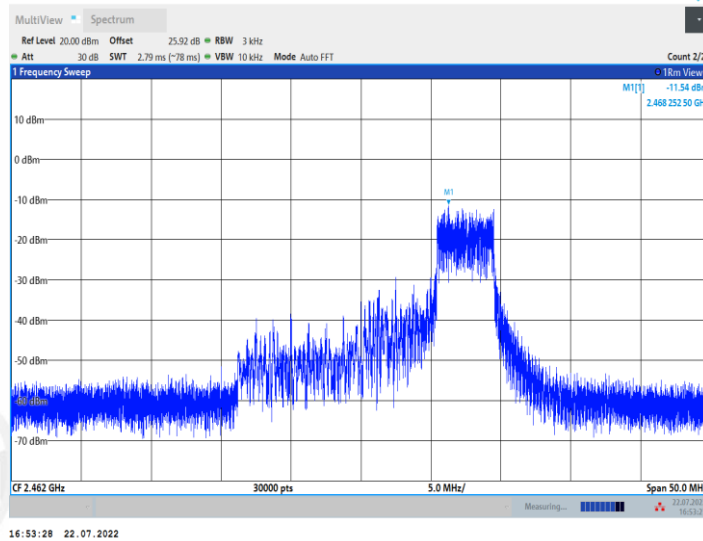
11AX20MIMO_Ant2_2462_52Tone_RU38



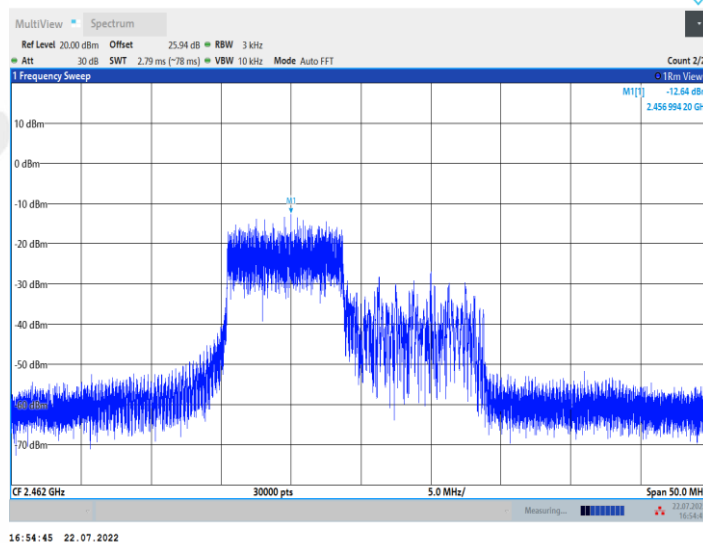
11AX20MIMO_Ant2_2462_52Tone_RU39



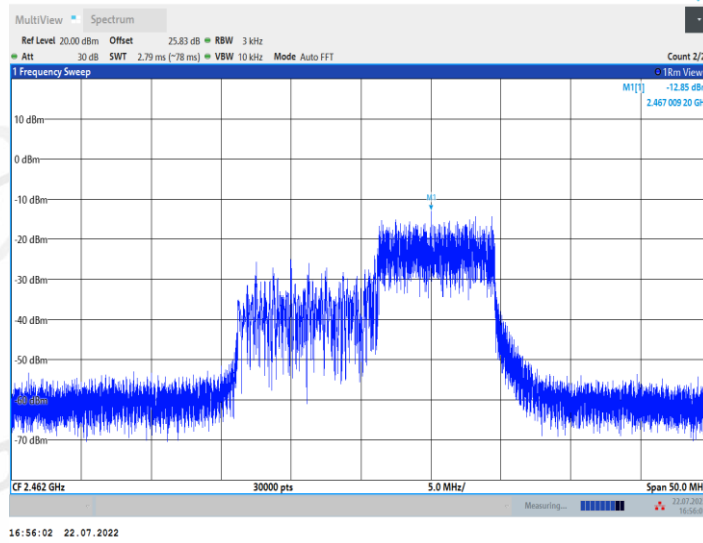
11AX20MIMO_Ant2_2462_52Tone_RU40



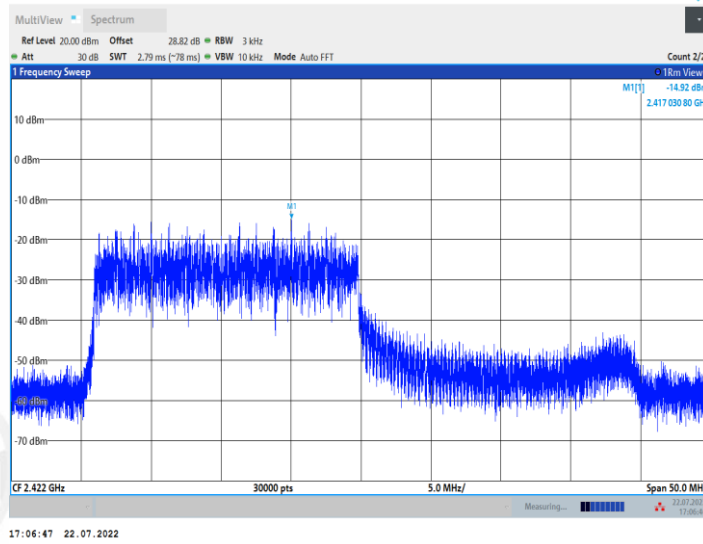
11AX20MIMO_Ant2_2462_106Tone_RU53



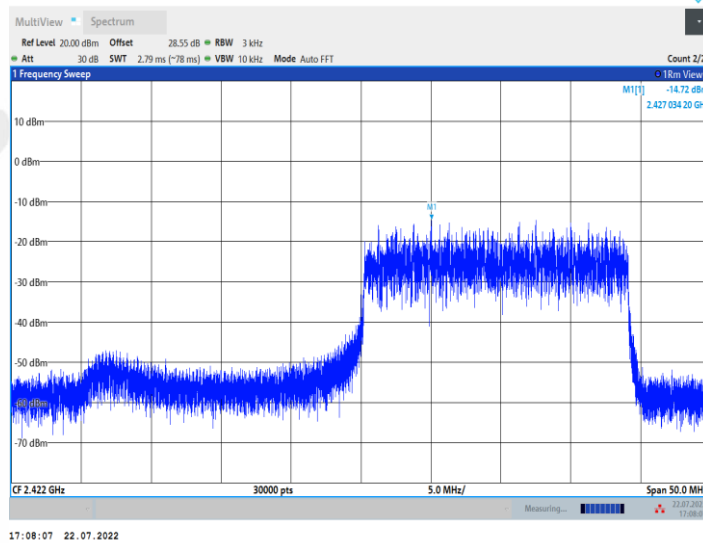
11AX20MIMO_Ant2_2462_106Tone_RU54



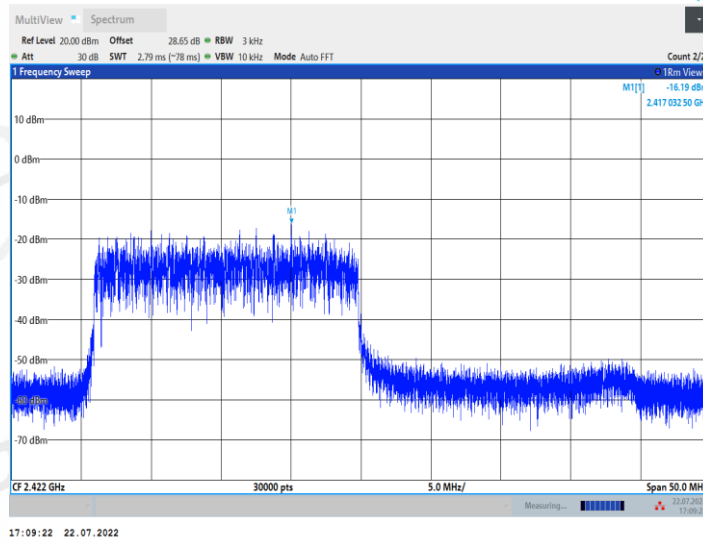
11AX40MIMO_Ant1_2422_242Tone_RU61



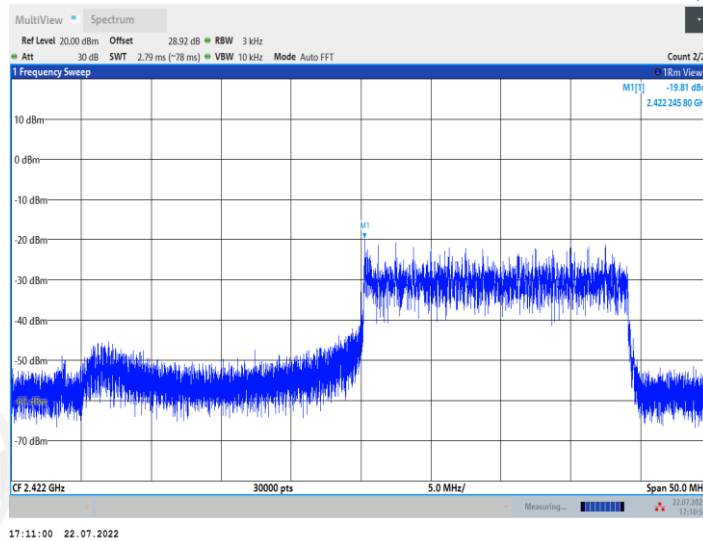
11AX40MIMO_Ant1_2422_242Tone_RU62



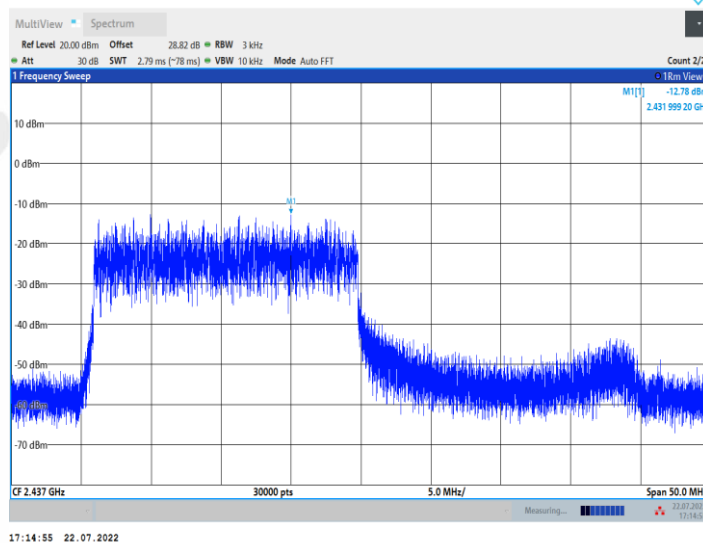
11AX40MIMO_Ant2_2422_242Tone_RU61



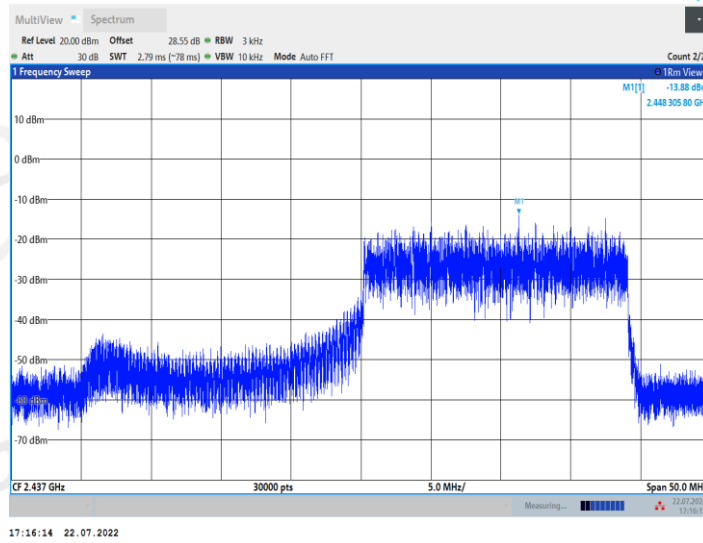
11AX40MIMO_Ant2_2422_242Tone_RU62



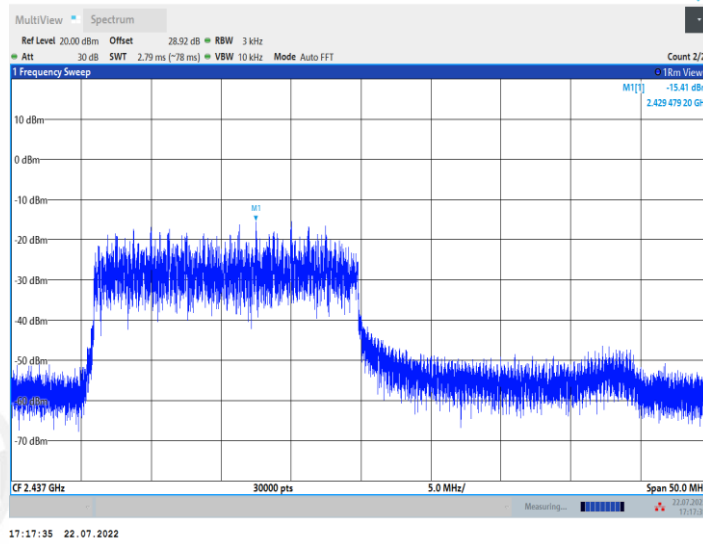
11AX40MIMO_Ant1_2437_242Tone_RU61



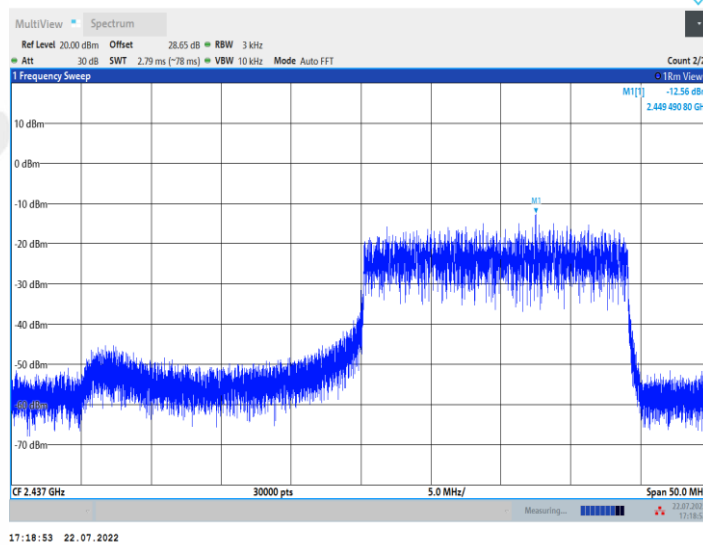
11AX40MIMO_Ant1_2437_242Tone_RU62



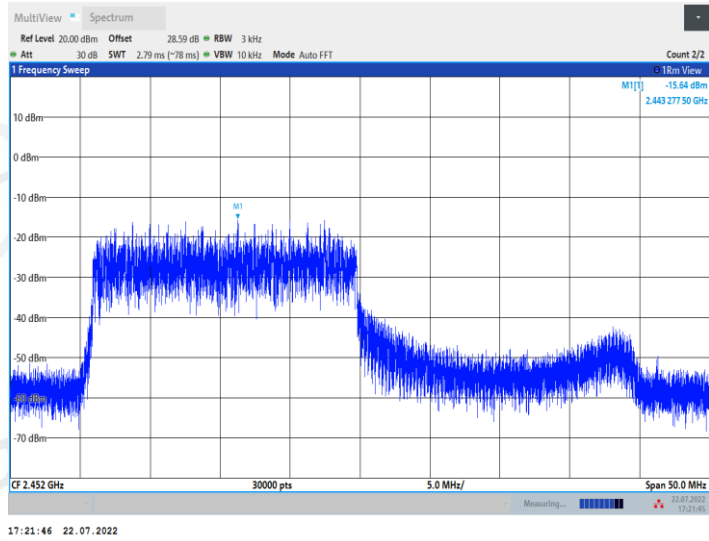
11AX40MIMO_Ant2_2437_242Tone_RU61



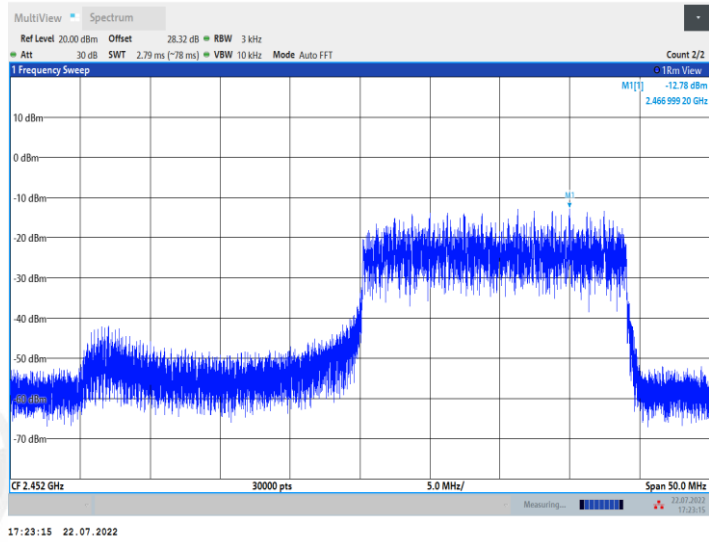
11AX40MIMO_Ant2_2437_242Tone_RU62



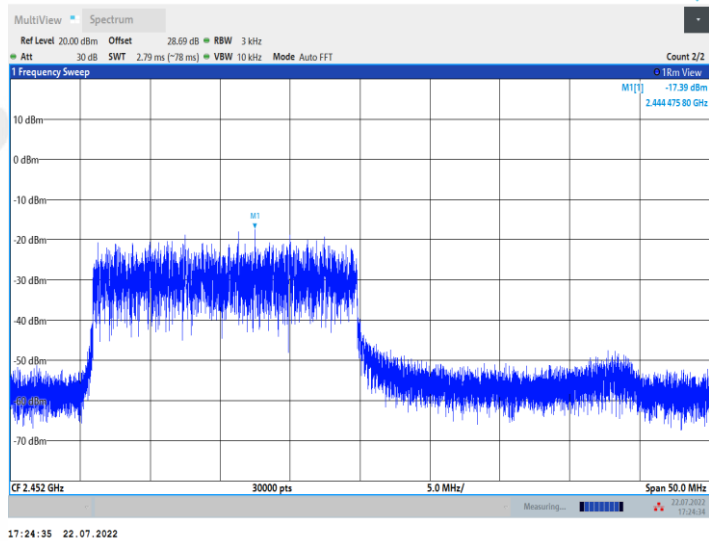
11AX40MIMO_Ant1_2452_242Tone_RU61

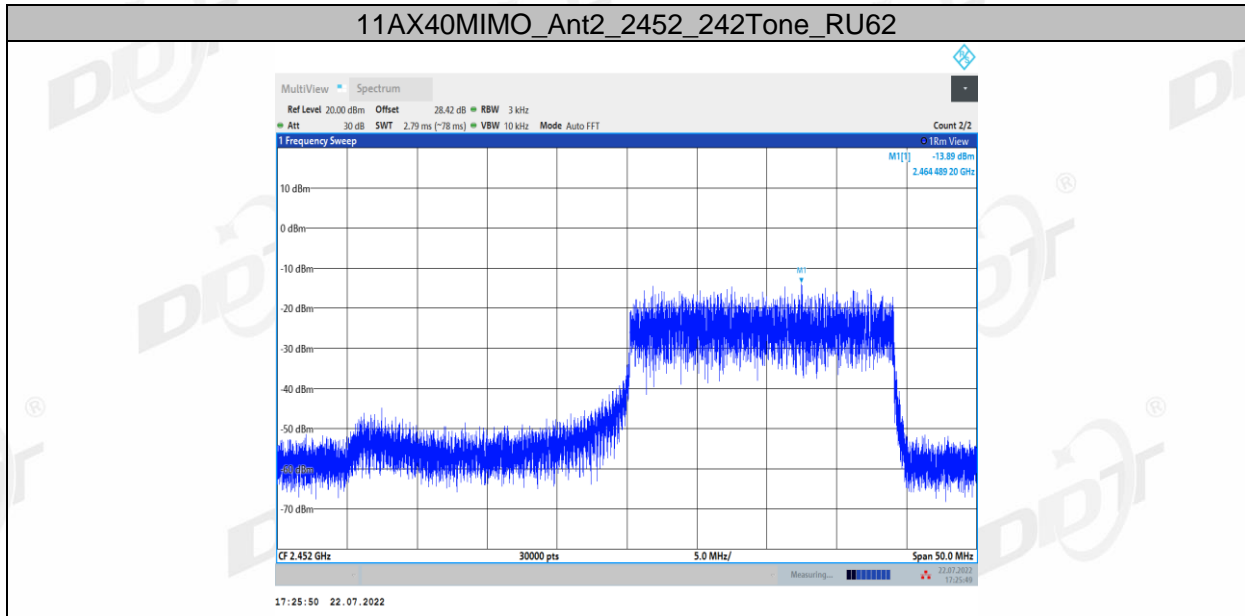


11AX40MIMO_Ant1_2452_242Tone_RU62



11AX40MIMO_Ant2_2452_242Tone_RU61





Note: HE20 SU represents HE20 242Tone, and HE40 SU represents HE40 484Tone, so for these Tones test performed with SU mode.

7. Band Edge Compliance (Conducted Method)

7.1. Block diagram of test setup

Same as section 4.1

7.2. Limits

In any 100 kHz bandwidth outside the frequency bands in which the spread spectrum intentional radiator is operating, the radio frequency power that is produced by the intentional radiator shall be at least 30 dB below that in the 100 kHz bandwidth within the band that contains the highest level of the desired power.

7.3. Test procedure

- (1) Connect EUT's antenna output to spectrum analyzer by RF cable.
- (2) Establish a reference level by using the following procedure:

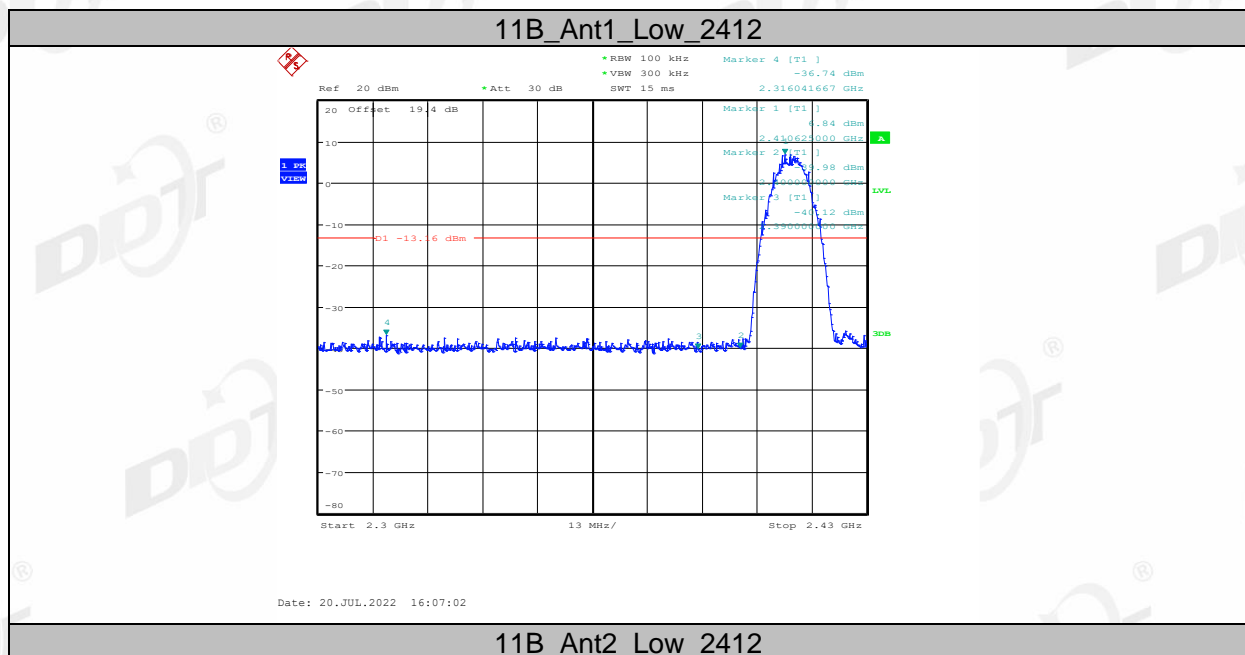
RBW:	100 kHz
VBW:	300 kHz
Span	Encompass frequency range to be measured
Detector Mode:	Peak
Sweep time:	auto
Trace mode	Max hold
- (3) Allow the trace to stabilize, use the peak marker function to determine the maximum peak power level to establish the reference level.
- (4) Then mark the maximum amplitude of all unwanted emissions outside of the authorized frequency band.

7.4. Test result

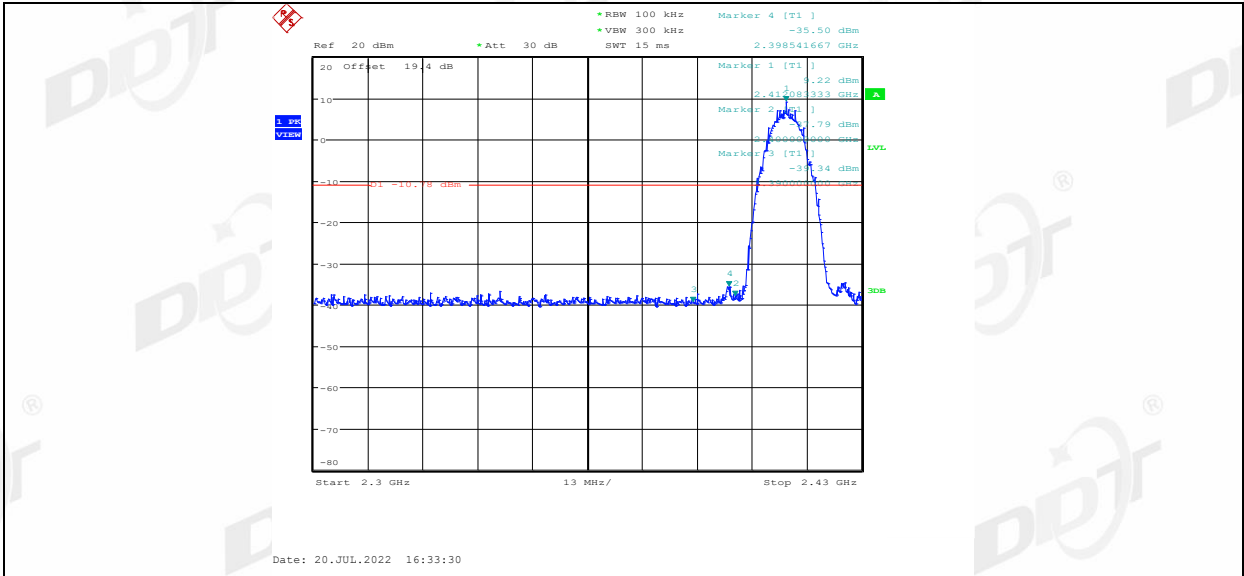
EUT Set Mode	CH or Frequency	Result (dBm)	EUT Set Mode	CH or Frequency	Result (dBm)
11b	CH1	Pass	11g	CH1	Pass
	CH6	Pass		CH6	Pass
	CH11	Pass		CH11	Pass
11n HT 20	CH1	Pass	11n HT 40	CH3	Pass
	CH6	Pass		CH6	Pass
	CH11	Pass		CH9	Pass
11ax HE 20	CH1	Pass	11ax HE 40	CH3	Pass
	CH6	Pass		CH6	Pass
	CH11	Pass		CH9	Pass

Note: for 802.11ax mode, according exploratory explorer test, Specific Resource Unit have no distinct influence, so the final test data only record the Worst Case.

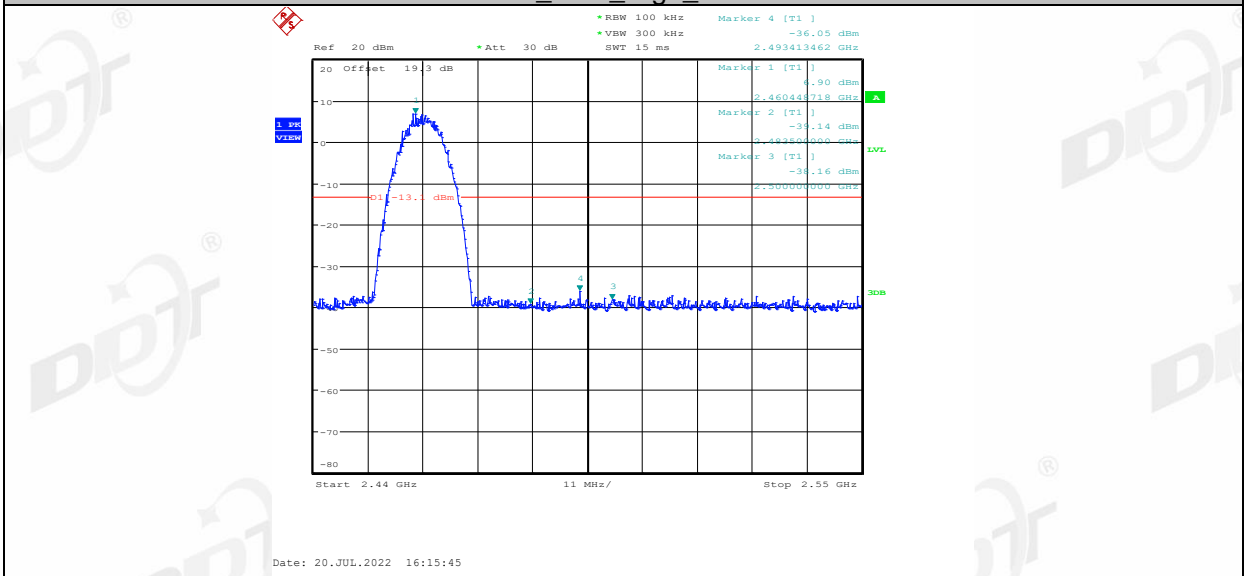
7.5. Original test data



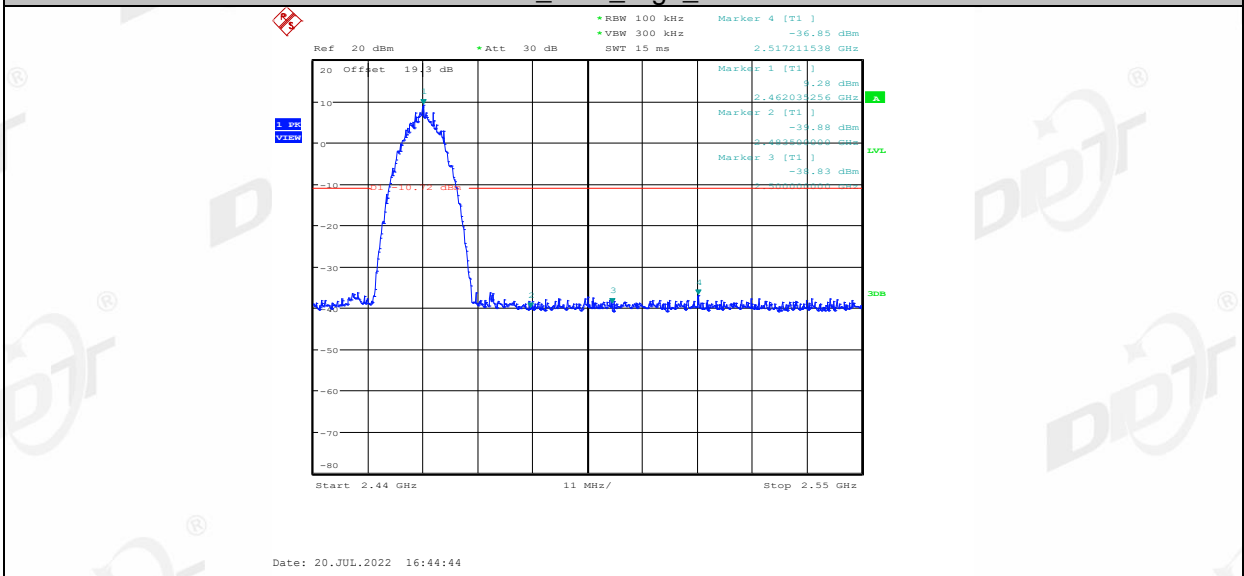
11B_Ant2_Low_2412



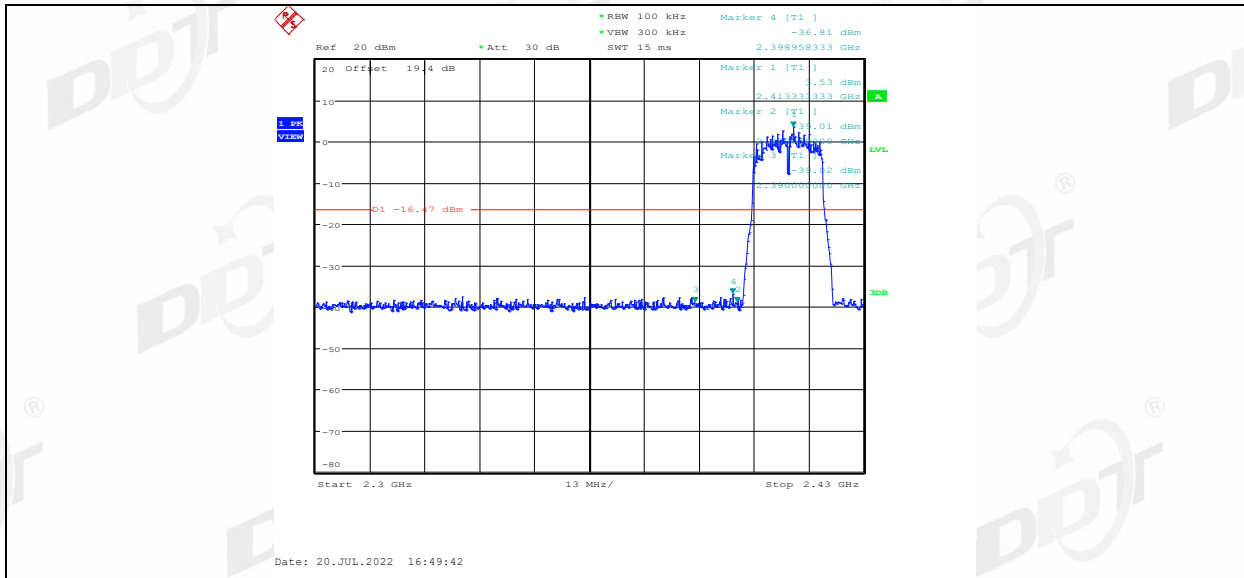
11B_Ant1_High_2462



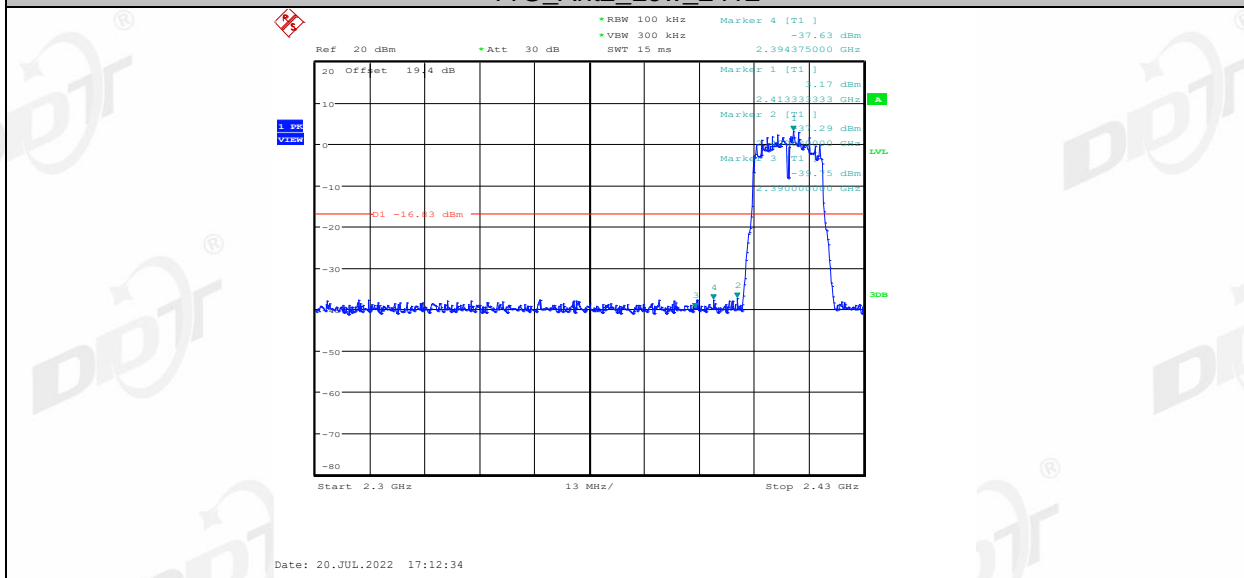
11B_Ant2_High_2462



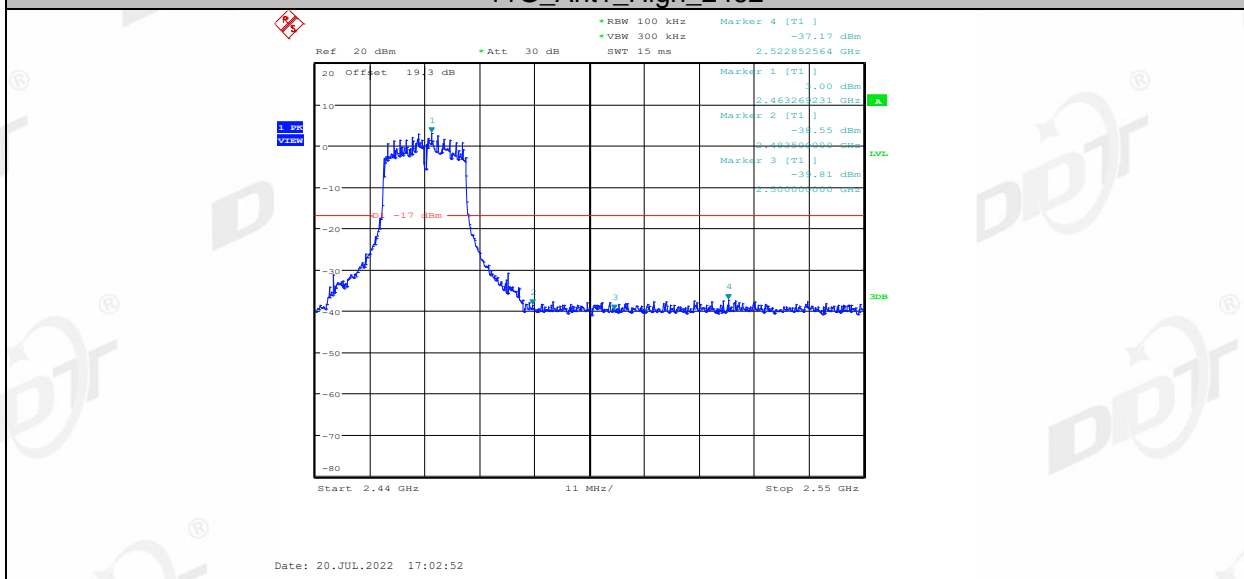
11G_Ant1_Low_2412



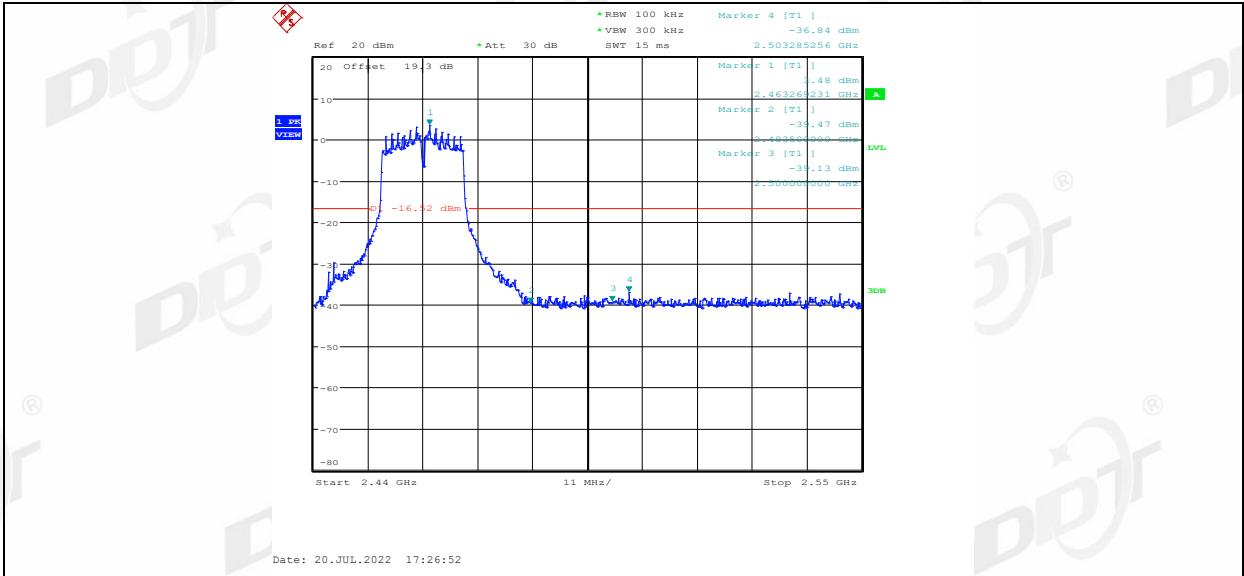
11G_Ant2_Low_2412



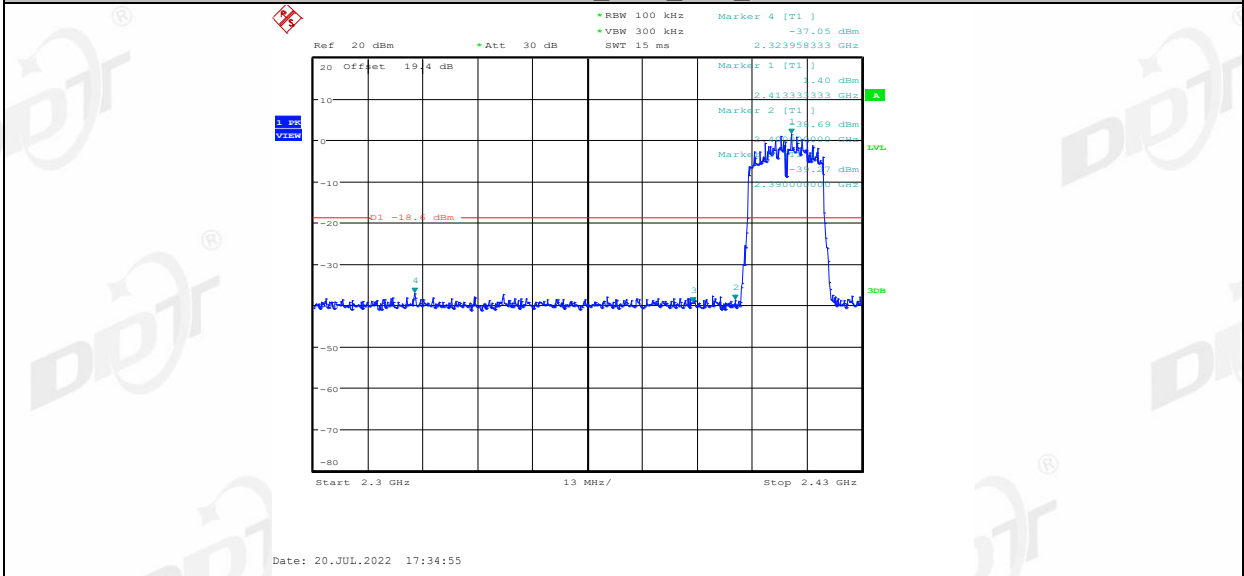
11G_Ant1_High_2462



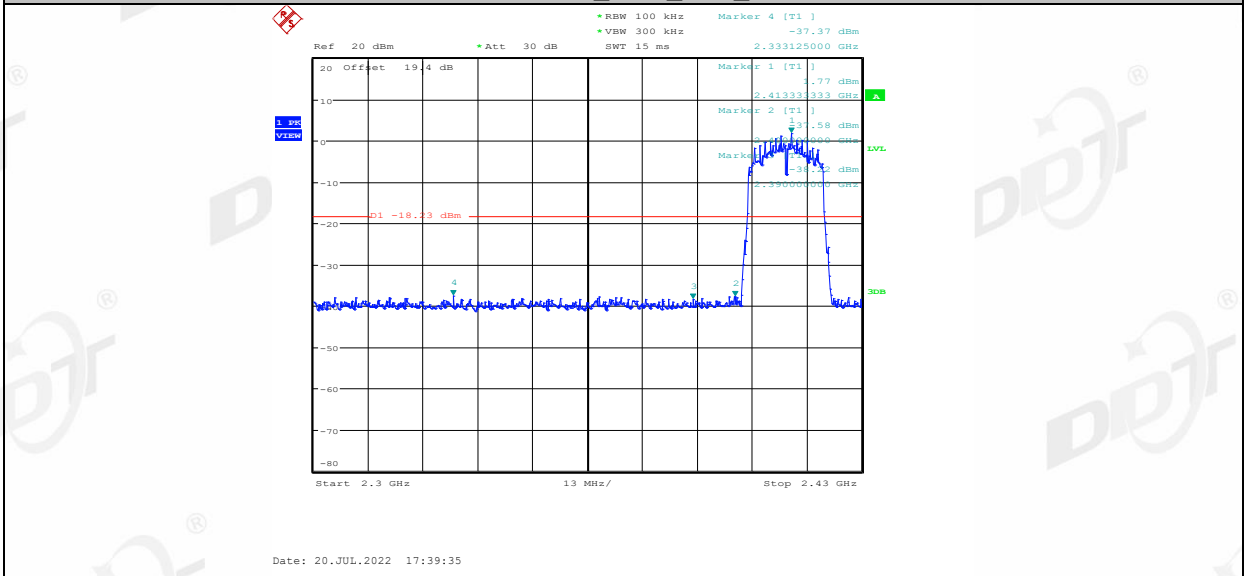
11G_Ant2_High_2462



11N20MIMO_Ant1_Low_2412



11N20MIMO_Ant2_Low_2412



11N20MIMO_Ant1_High_2462